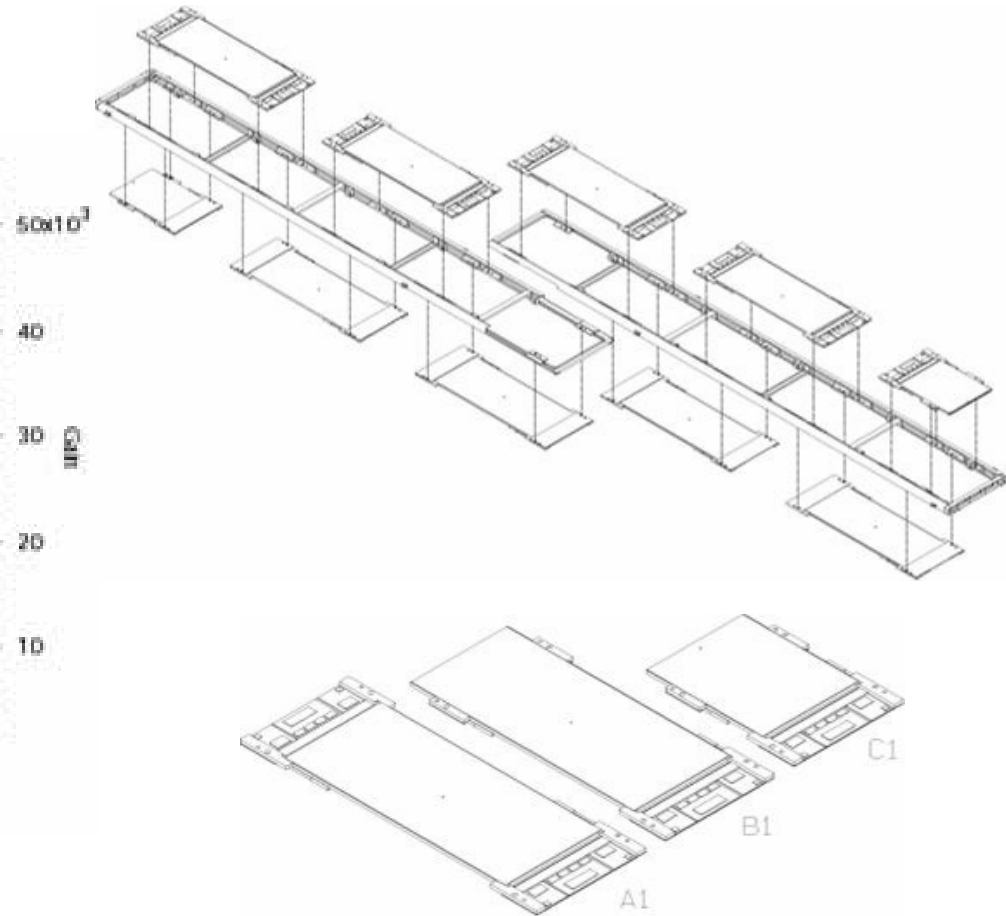
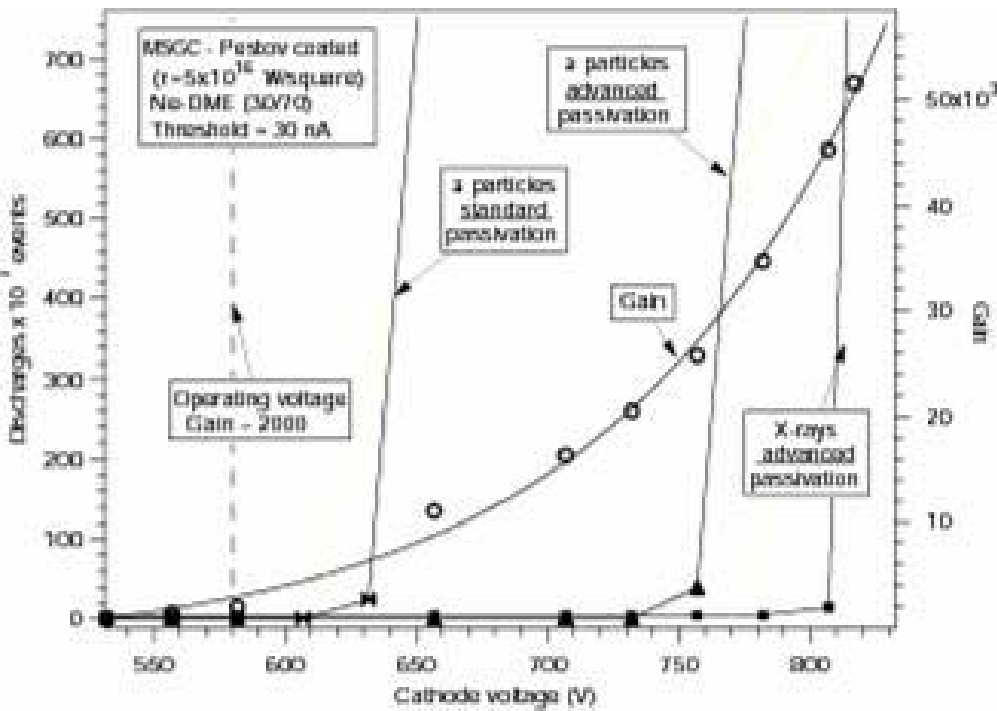


# MSGC

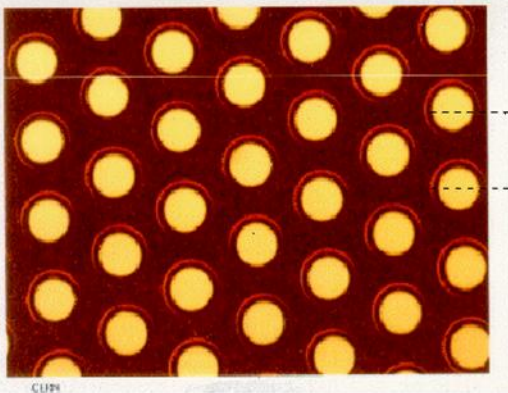
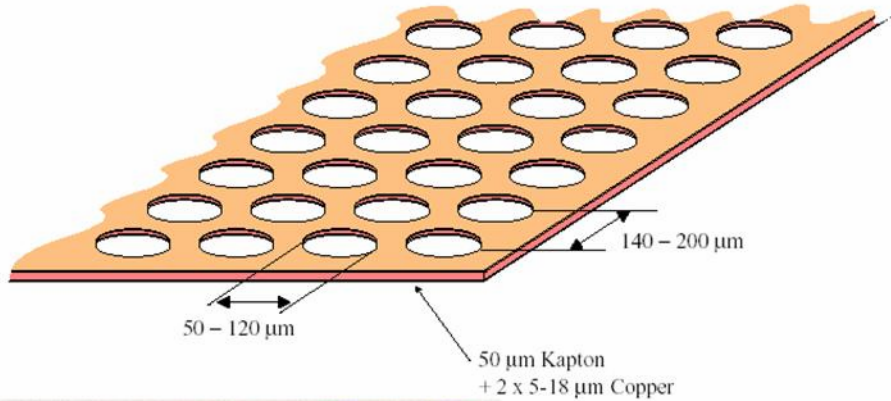


# Variantes

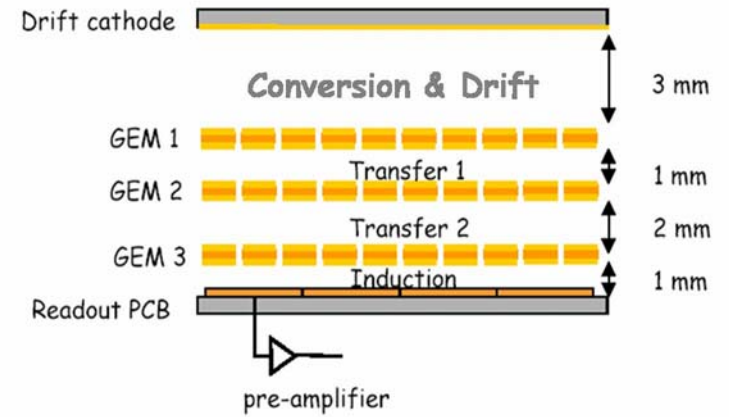
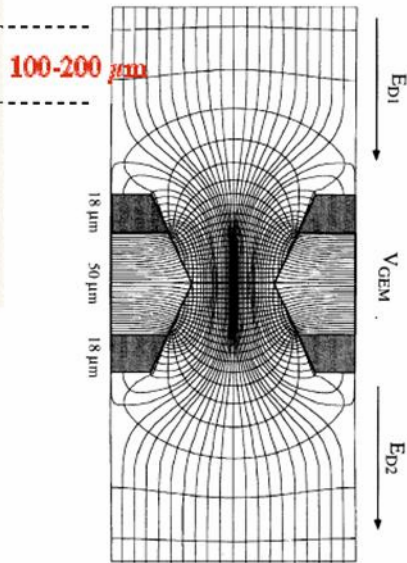
- GEM (Sauli)
  
- Micromegas  
(Charpak, Giomataris)

# GEM 1997

(R. Bouclier et al., NIM A 396 (1997) 50)



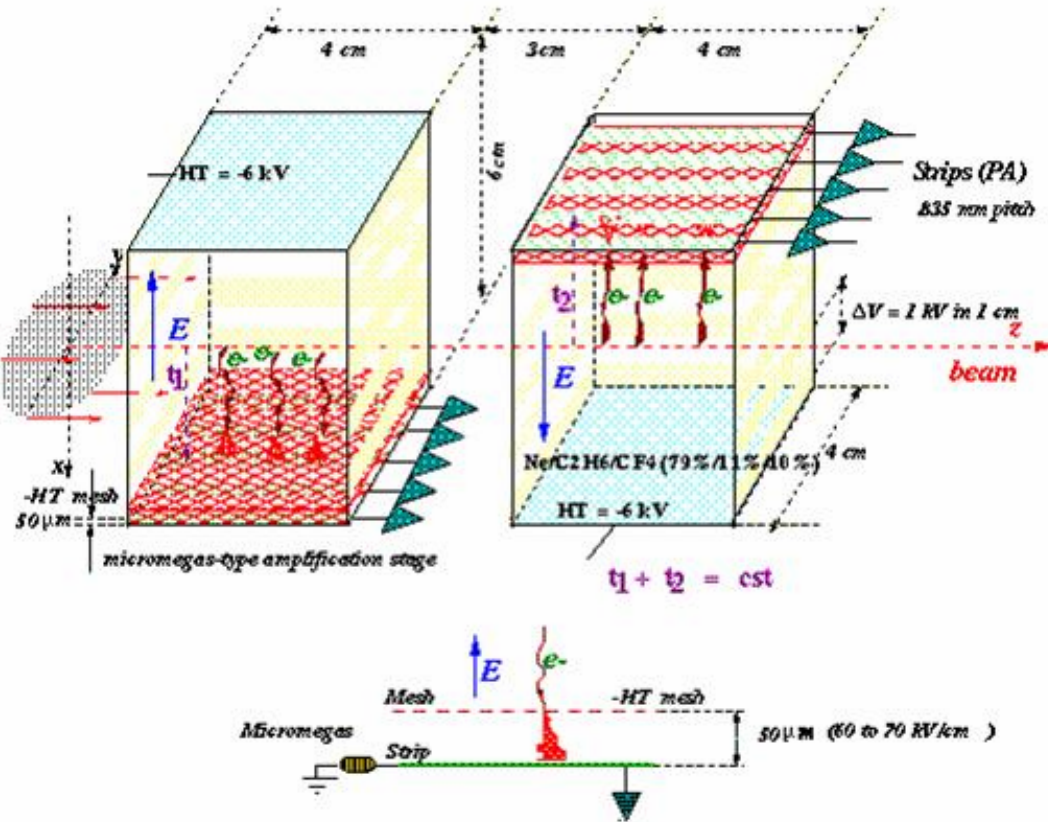
Micro photo of a GEM foil



Triple GEM  
LHCb Muons

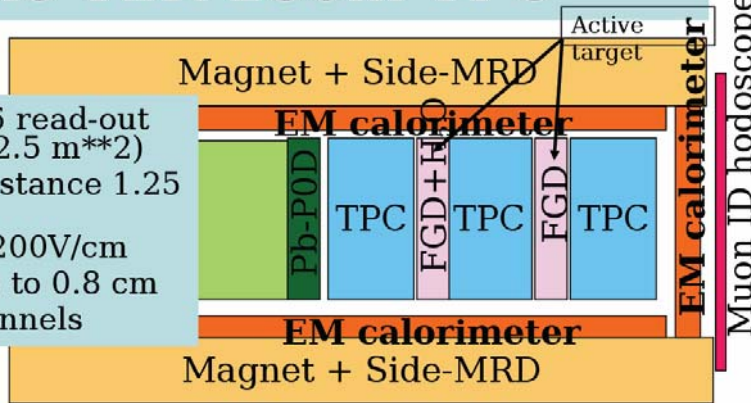
# Micromegas NA48

Micromegas Time Projection Chambers



# The T2K 280m TPC

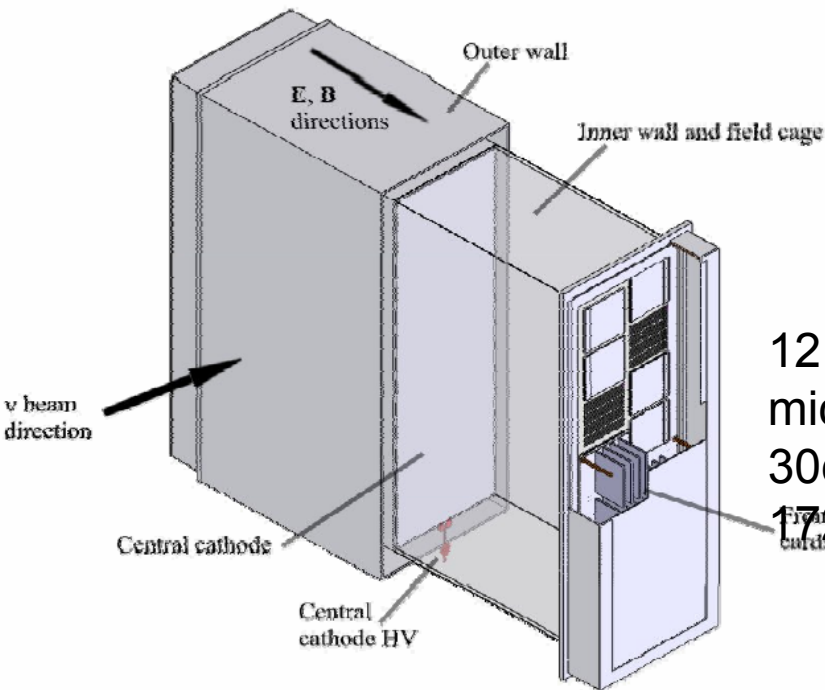
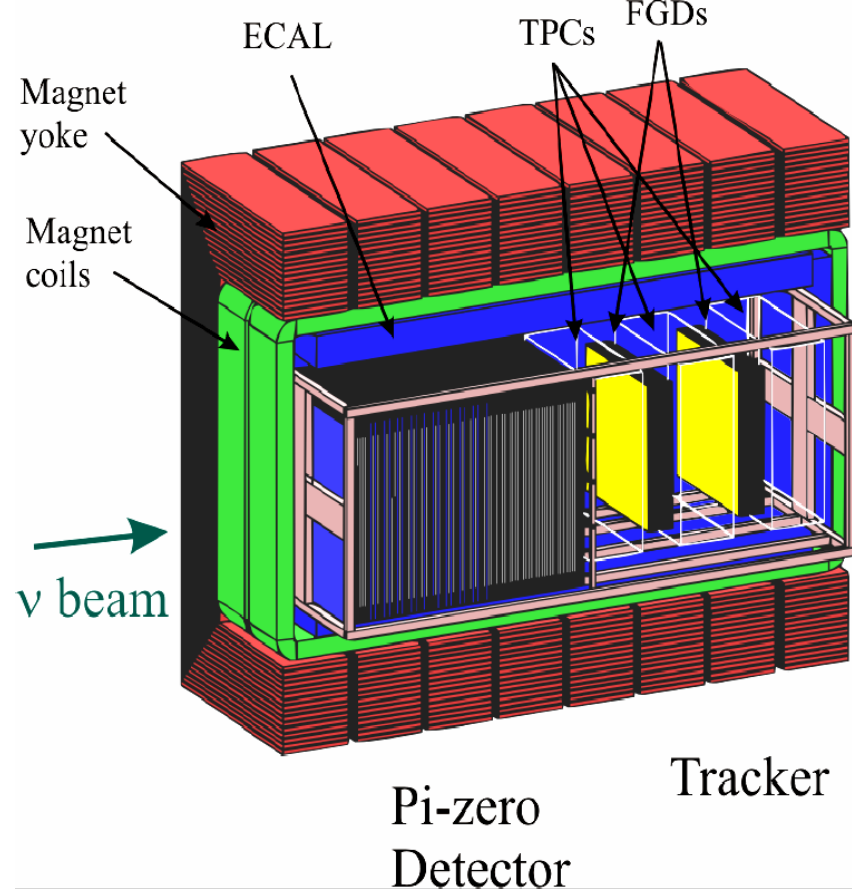
- Instrument 6 read-out planes (0.6x2.5 m\*\*2)
- Total drift distance 1.25 m
- B=0.2 T E=200V/cm
- Pad size: 0.6 to 0.8 cm
- O(100K) channels



Requirements :

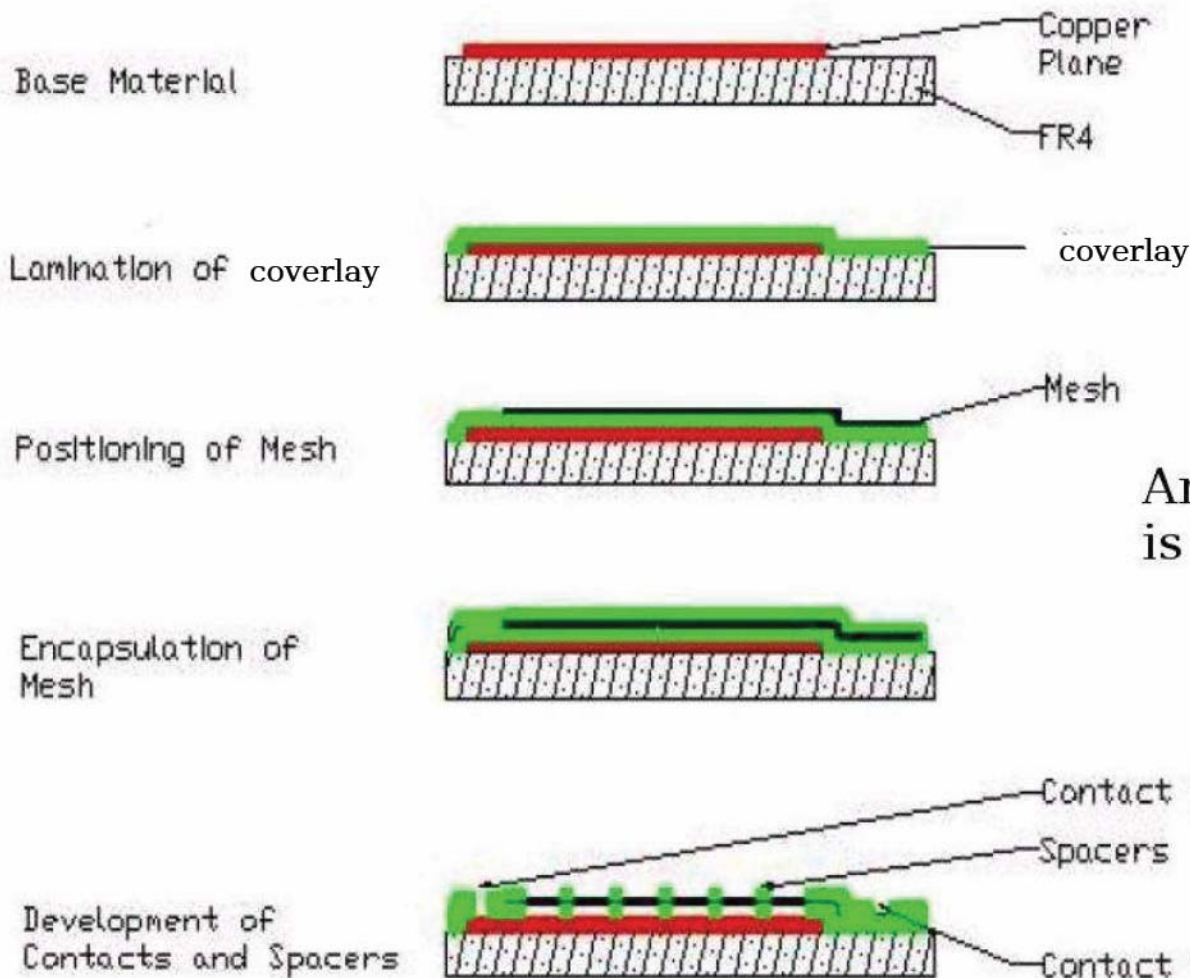
$$\sigma(p)/p < 10\% \text{ @ } 1 \text{ GeV}/c$$

dE/dx capability: separate e from  $\mu$

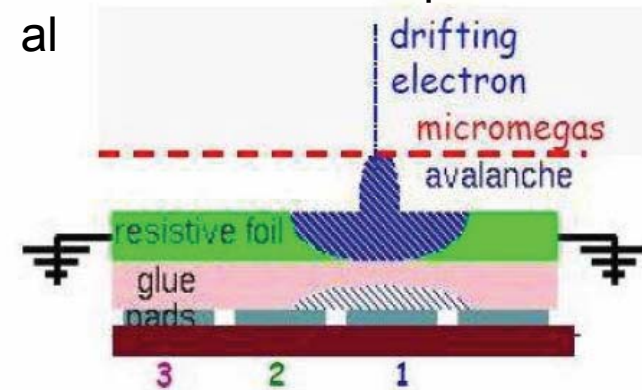


12  
micromegas  
30cm x30 cm  
1728 pads

F. Pierre/DAPNIA-CEA



For ILC? Colas, Lepeltier et al



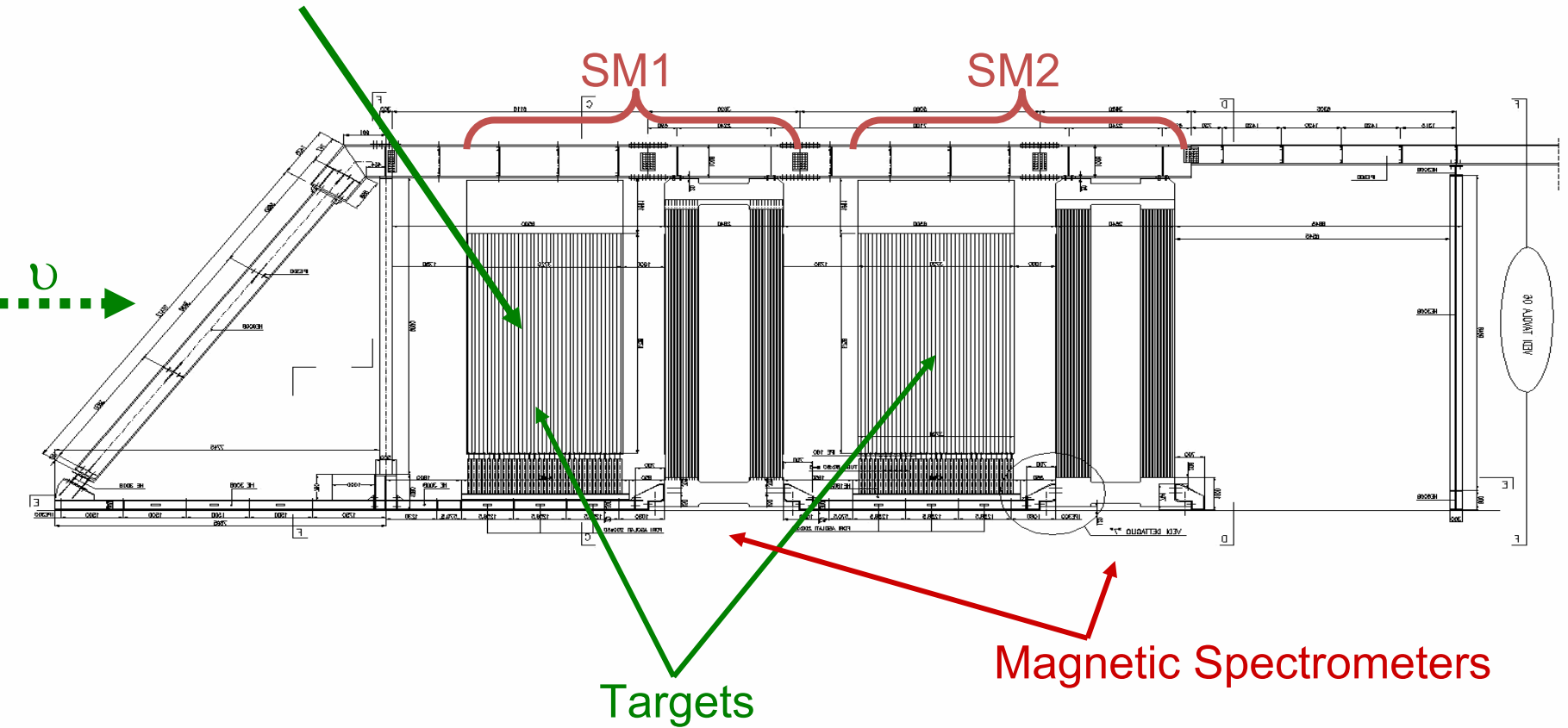
Amplification gap is 124  $\mu\text{m}$

F.Pierre Dapnia-CEA

# PRODUCTION SEQUENCE OF A BULK MICROMEAS

# OPERA

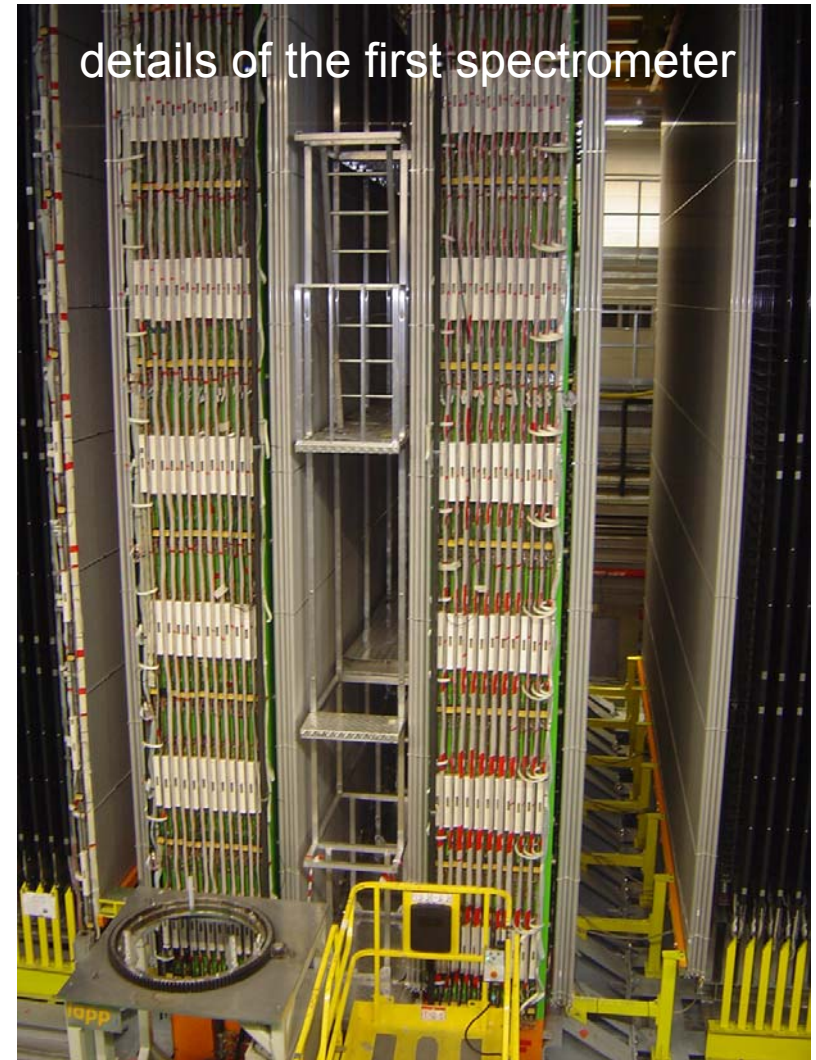
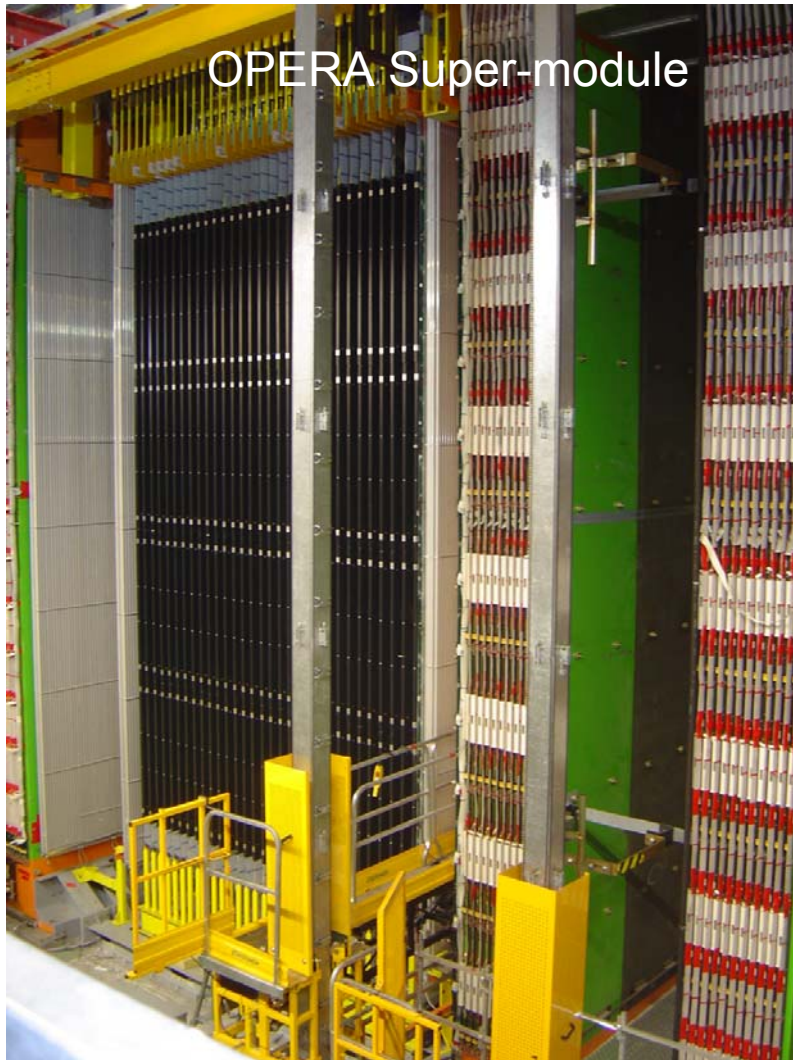
31 target planes / supermodule (in total: 206336 bricks, 1766 tons)



# Trackers OPERA

5900 m<sup>2</sup> scintillator detectors – 3050 m<sup>2</sup> Resistive Plate Chambers  
8064 7m long drift tubes - ~2000 tons of Fe

September 11th, 2006  
LNGS and the Neutrinos  
from CERN



Roscoff juin 2007

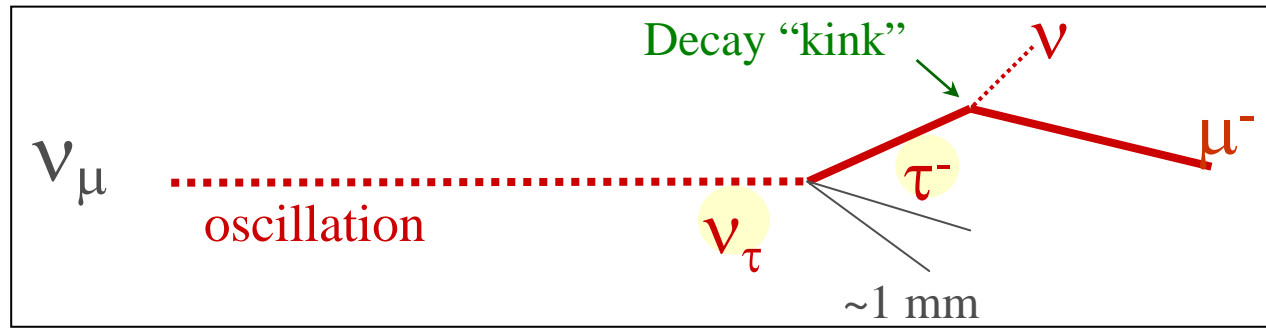
P.Siegrist CERN-PH



# OPERA-CNGS

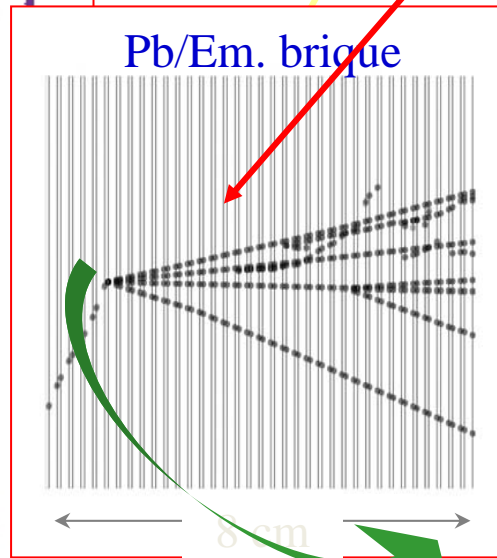
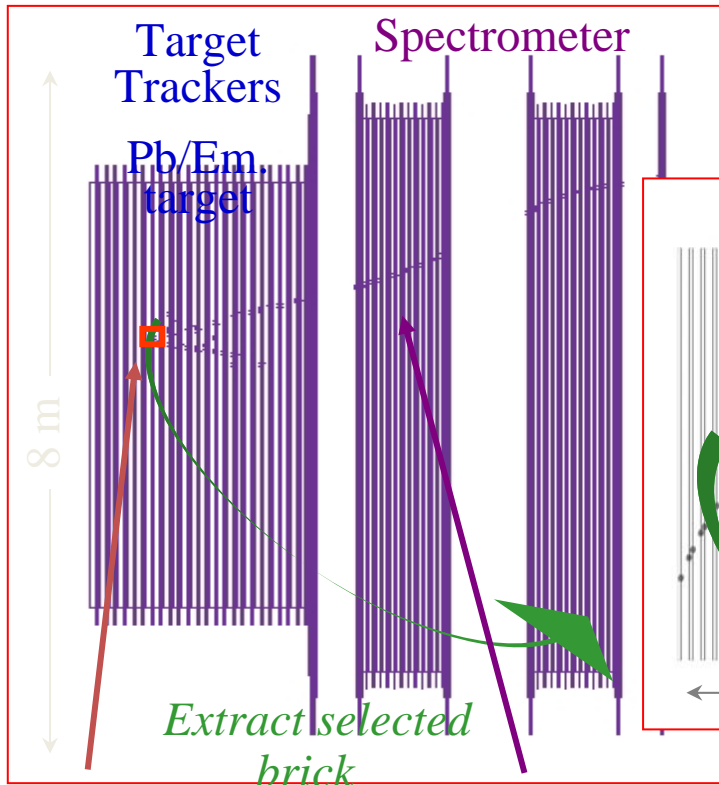
Détecteur électronique:  
trigger sur interaction neutrino  
identification du muon et  
mesure charge et impulsion

Détecteur électronique:

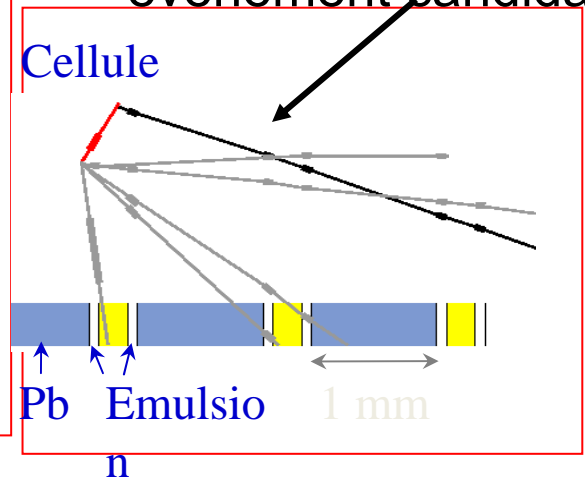


Analyse Emulsion :

Vertex, kink  $e/\gamma$  ID, diff multiple,  
cinématique



Connexion ID Mu et  
evenement candidat

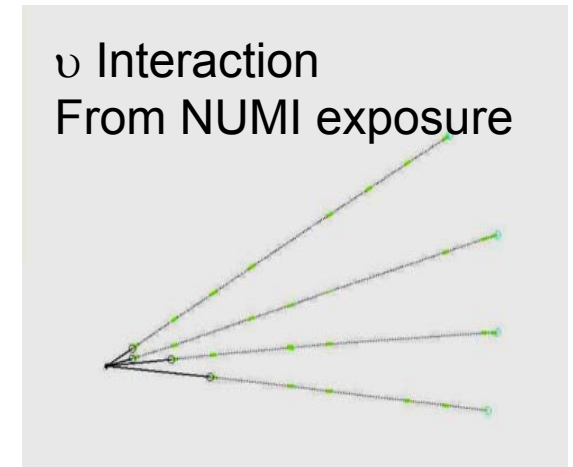
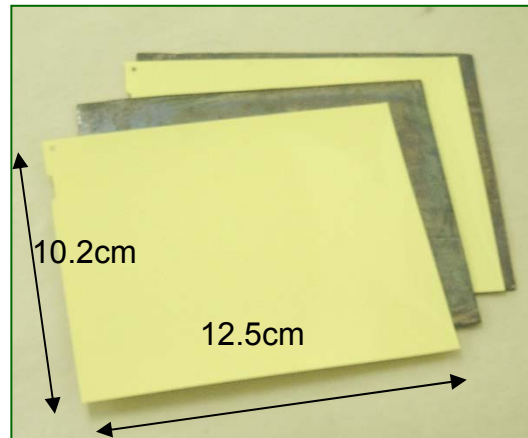
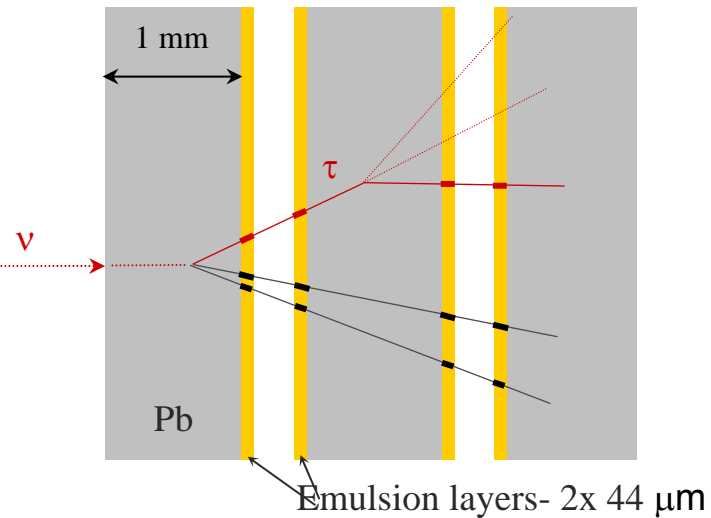
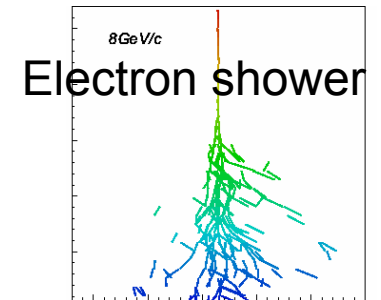
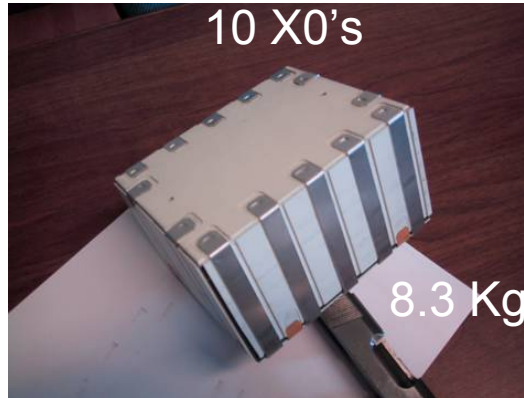


Recherche de brique muon ID, charge et p

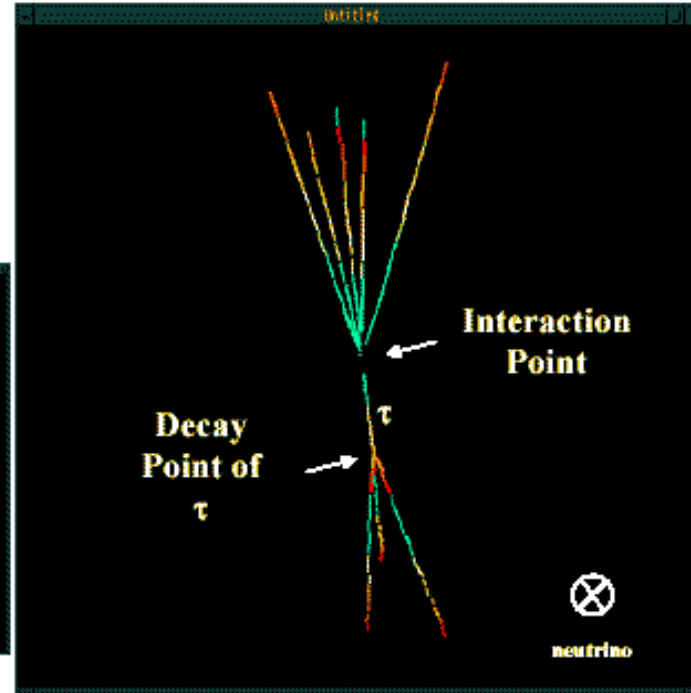
# OPERA

Briques: Cible active Pb + Em  
31 plans,  
206336 briques, 1766 tonnes

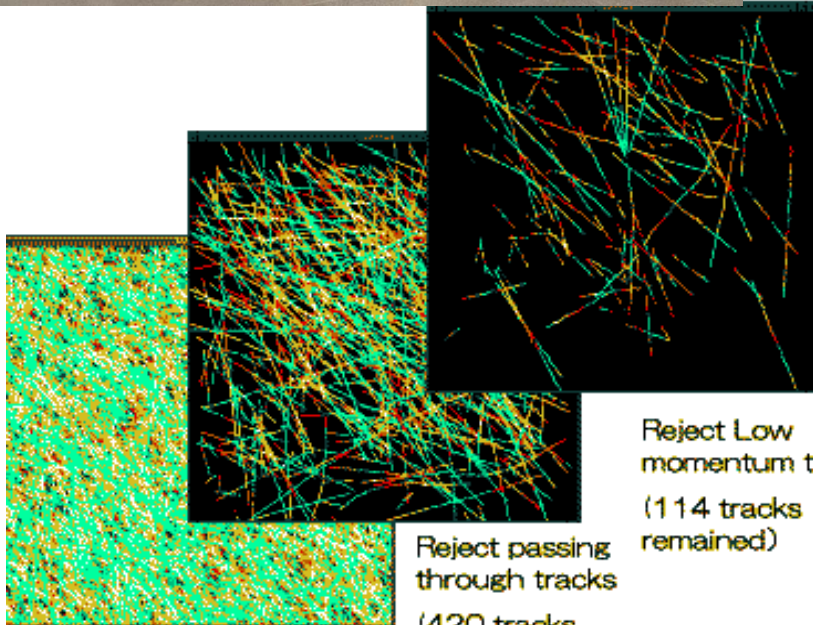
1 brique = 56 Pb + 57 Em



# Reconstruction dans l'émulsion



OPERA



All tracks in the Scanning region (4179 tracks)

Reject passing through tracks (420 tracks remained)

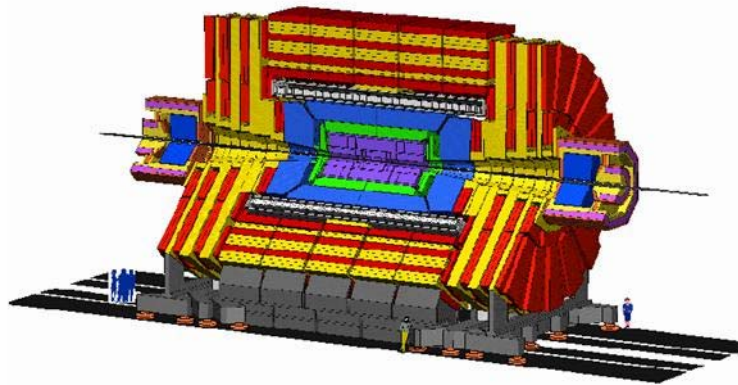
Reject Low momentum tracks (114 tracks remained)

Vertex detection :  
Neutrino interaction and decay of short lived particles

Detection of  $\nu_{\tau}^{CC}$  in DONUT

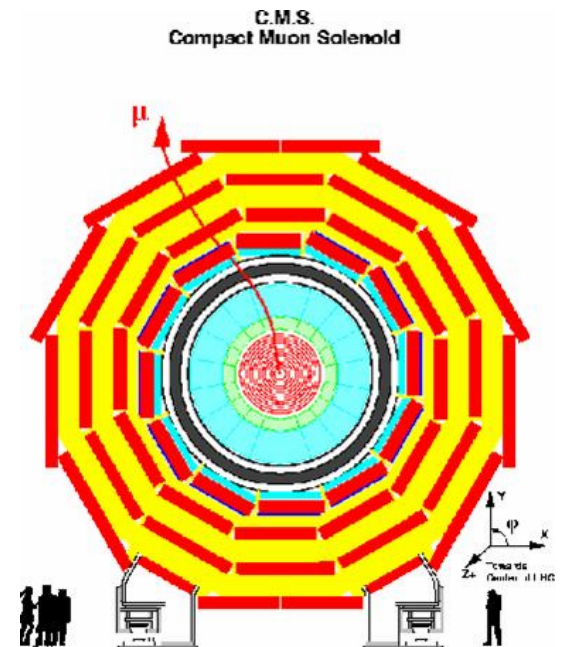
# Détecteurs muons LHC

– CMS: DT, RPC, CSC

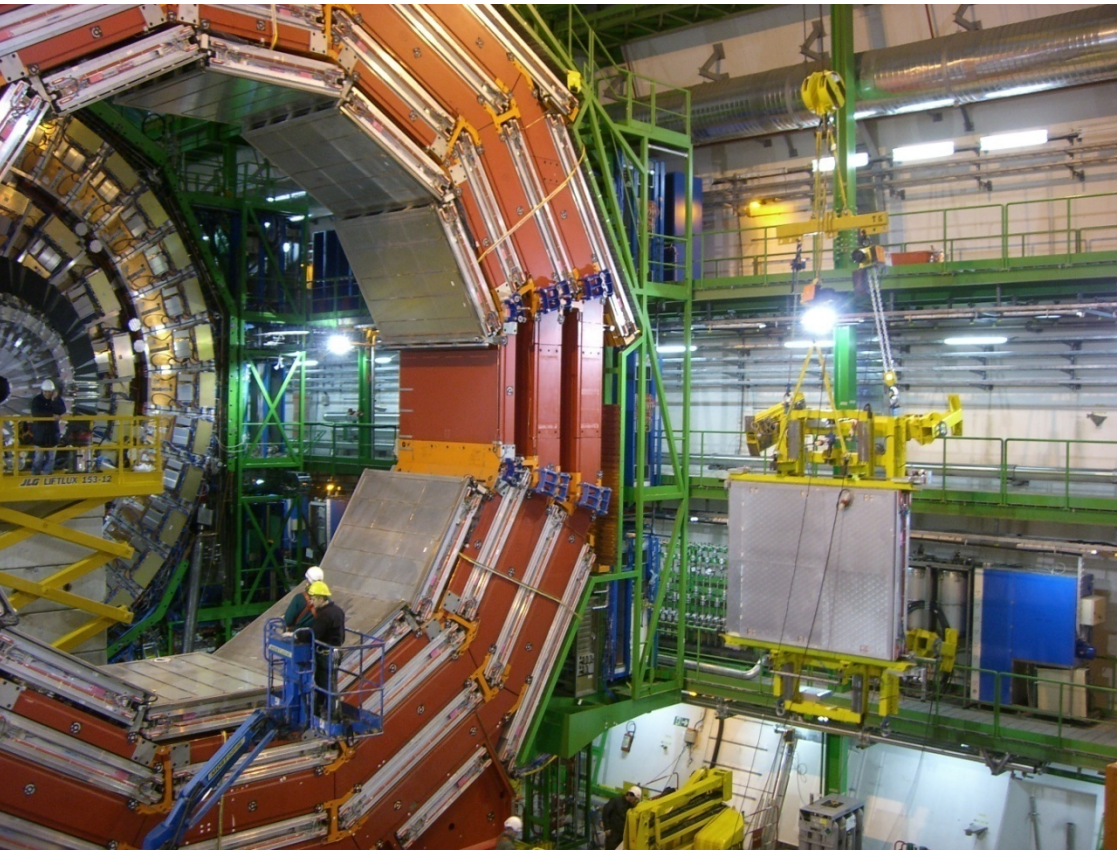


– Atlas:TGC

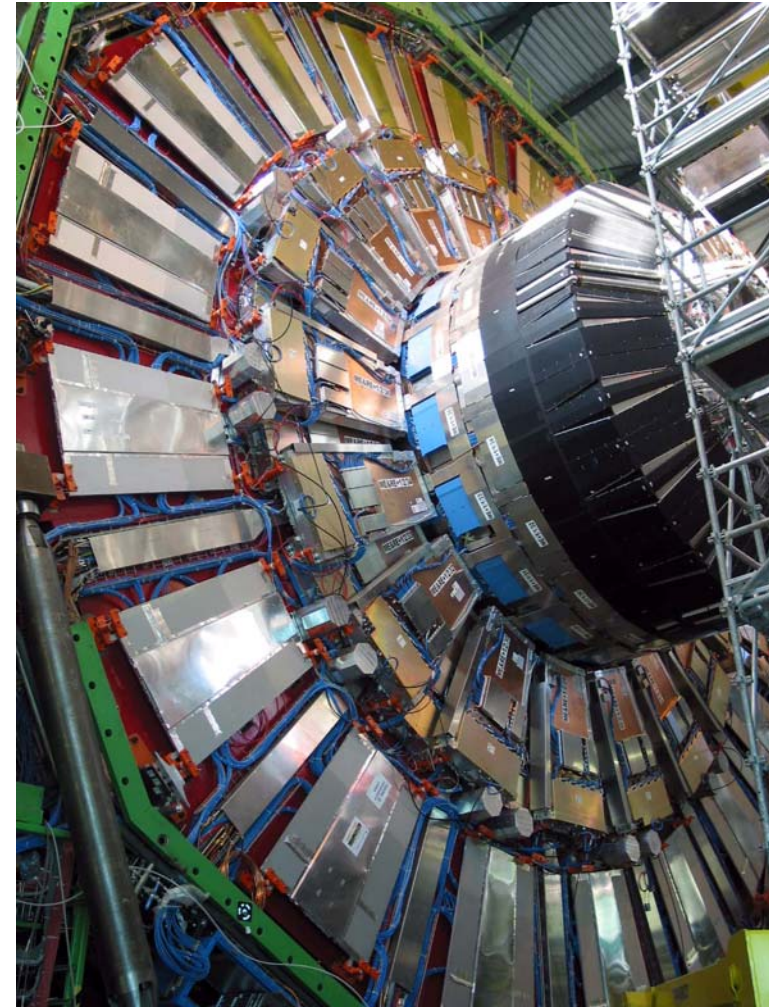
– LHCb: MWPC, GEM



# Muons CMS



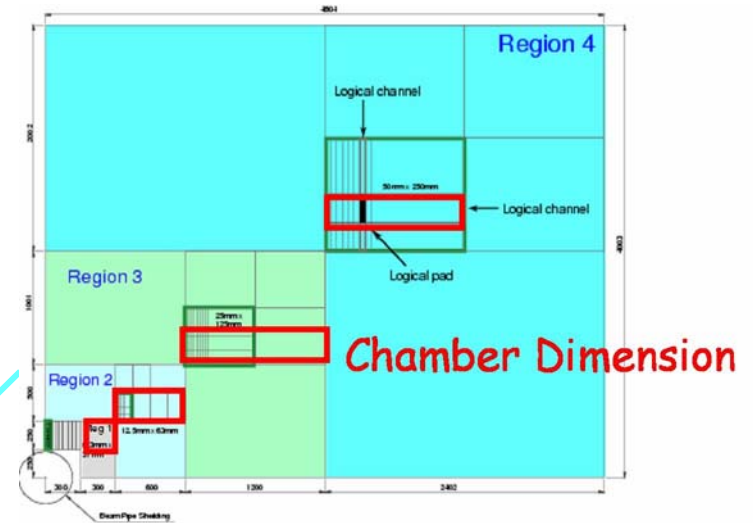
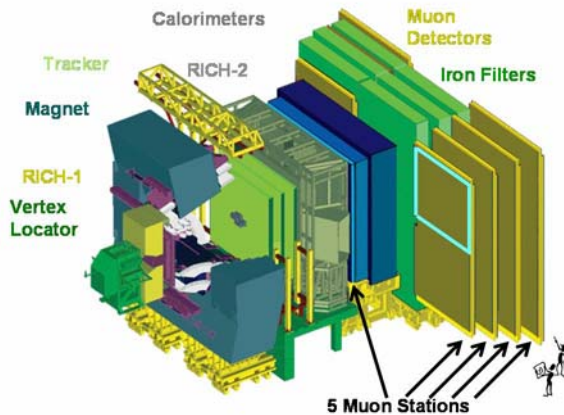
Muon Barrel



Muon End Cap

# MWPCs in the LHCb Muon System

K. Mair IEEE 2005

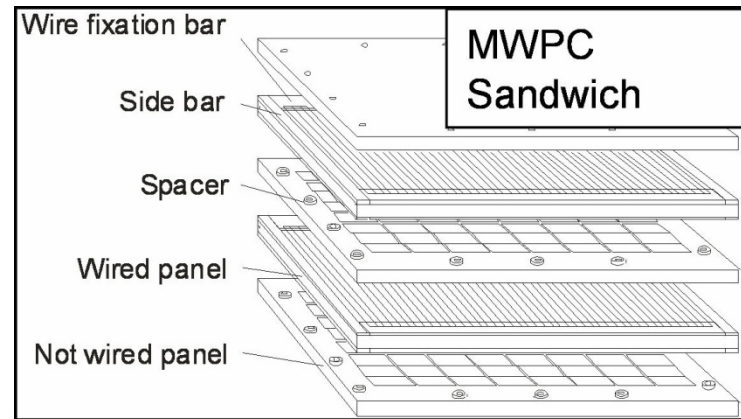


- Multi Wire Proportional Chambers (MWPCs):
  - Fast muon triggering
  - Muon identification
- 5 Muon Stations, 4 Regions / Station
  - 20 different chamber sizes
  - 1368 chambers

# MWPC Design

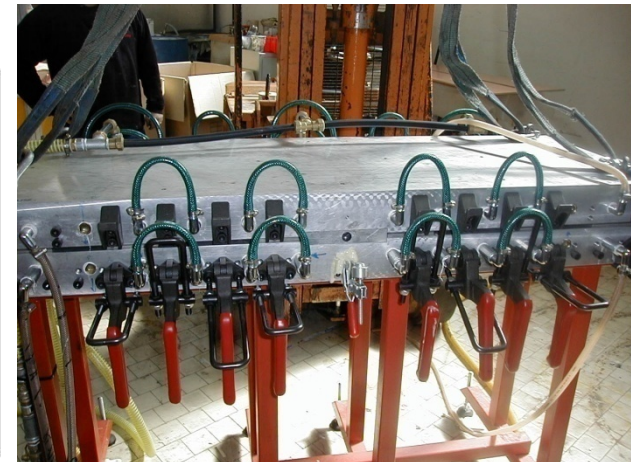
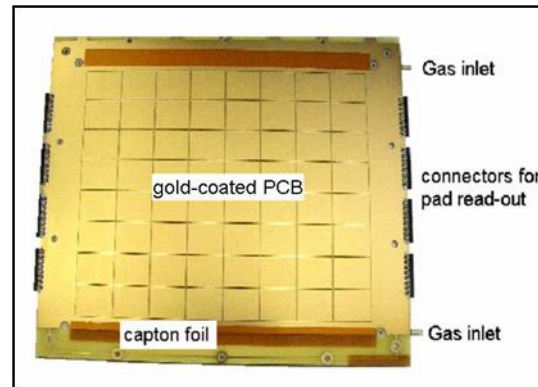
K. Mair IEEE 2005

- 4-gap MWPC
- gap size: 5 mm (wire plane centered)
- gas mixture: Ar/CO<sub>2</sub>/CF<sub>4</sub> (40:55:5)
- wire: Gold-plated Tungsten, 30 μm Ø, 250 to 310 mm wire length
- wire spacing: 2 mm, mechanical tension: 65 gr
- HV = 2.650 kV
- field on wires: 262 kV/cm
- field on cathodes 6.2 kV/cm
- gas gain:  $G \approx 50\,000$
- gain uniformity:  $\leq 30\%$



## panel production:

- PCB coated by 35 μm copper, 5 μm nickel, 0.2 μm gold
- foam injected between 2 PCBs in mould



# Détecteurs Silicium

- Micro Strips  
LEP → détecteurs de vertex  
LHC détecteurs de traces Atlas, CMS
- Pixels
  - Débuts à LEP (P. Delpierre et al. Delphi)
  - LHC Alice, Atlas, CMS



# SI Micro-strips CMS

## 3.1. Substrate

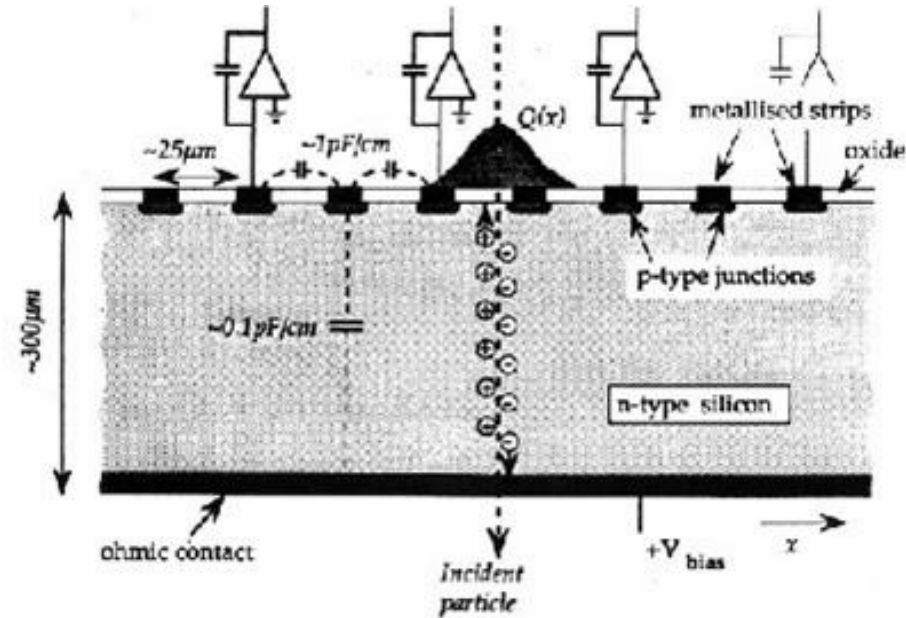
The supplier shall provide the silicon substrates. They have 6" diameter for thick sensors and thin wedge sensors, and either 6" or 4" for the thin inner barrel sensors. They are:

n-type, phosphorus doped, float-zone, <100> crystal orientation  
 resistivity in the range of  $\rho = 1.5 - 3.0 \text{ K } \Omega \cdot \text{cm}$  (thin sensors)  
 resistivity in the range of  $\rho = 3.5 - 7.5 \text{ K } \Omega \cdot \text{cm}$  (thick sensors)  
 thickness:  $320 \pm 20 \mu\text{m}$  (thin),  $500 \pm 20 \mu\text{m}$  (thick)  
 Both sides polished.

## 3.2. Dicing and Flatness

The sensors shall be diced by the supplier. The dicing tolerance is  $\pm 20 \mu\text{m}$ . The quality of the cut edges shall be such that there are no chips greater than  $40 \mu\text{m}$  and no cracks. The sensors shall be clean, with no residual on the surface when delivered.

We require a sensor flatness (unstressed)  $< 100 \mu\text{m}$ .



19100 détecteurs épais.  $500 \mu\text{m}$

512 strips pas  $182 \mu\text{m}$

$\sim 10 \times 10 \text{ cm}^2$

Formes  $\sim$  carrés ou trapèze  $\rightarrow \sim 200 \text{ m}^2$  surface de détection

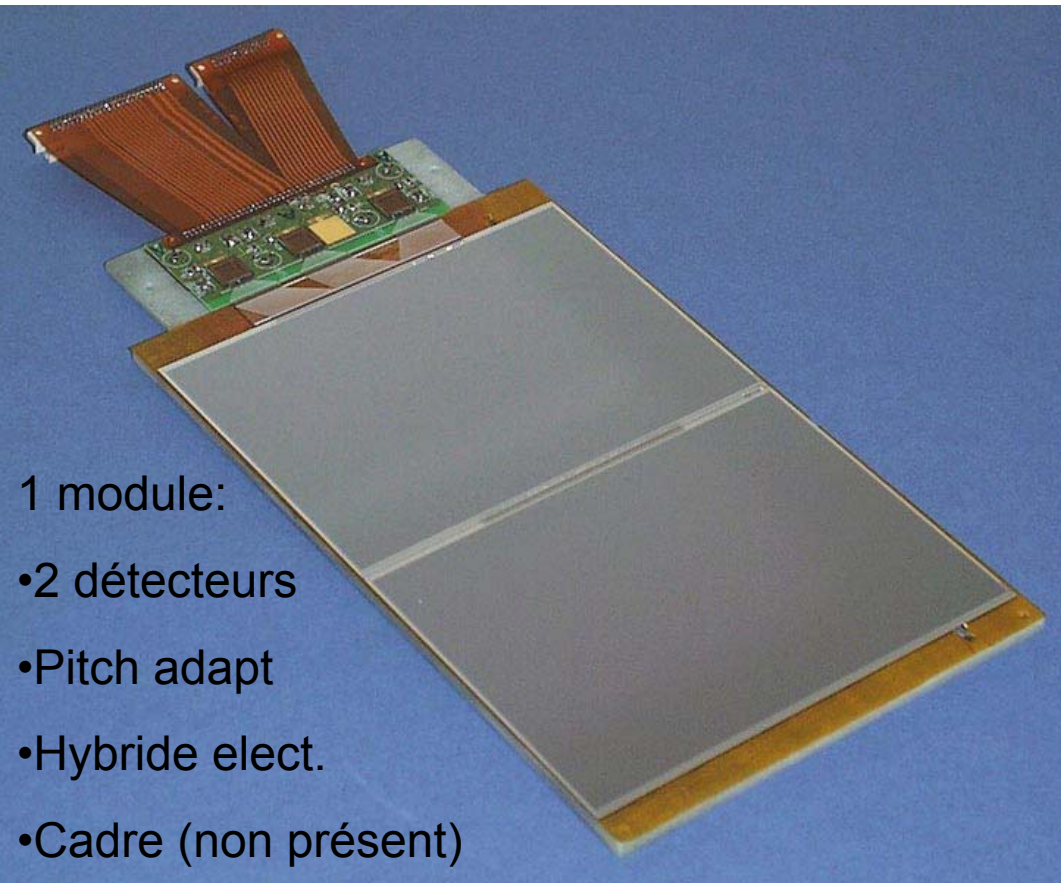
HV max  $300 \text{ V}$  HV break  $> 500 \text{ V}$

6450 détecteurs épais.  $320 \mu\text{m}$

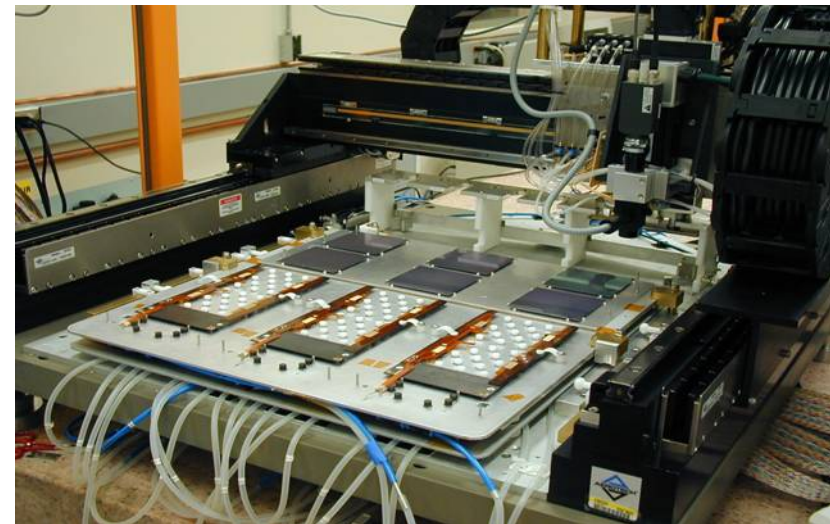
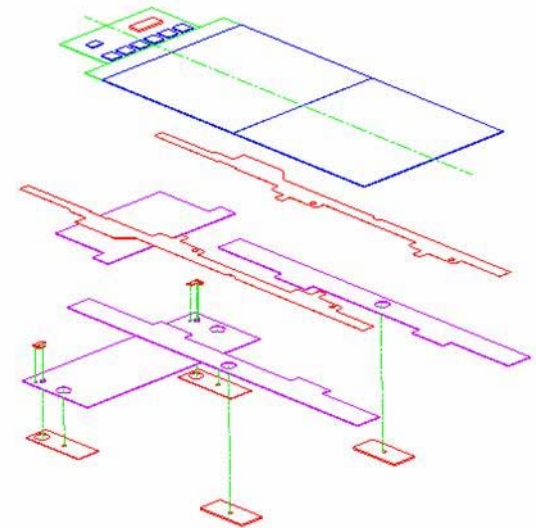
512 strips pas  $120 \mu\text{m}$

$\sim 6 \times 6 \text{ cm}^2$

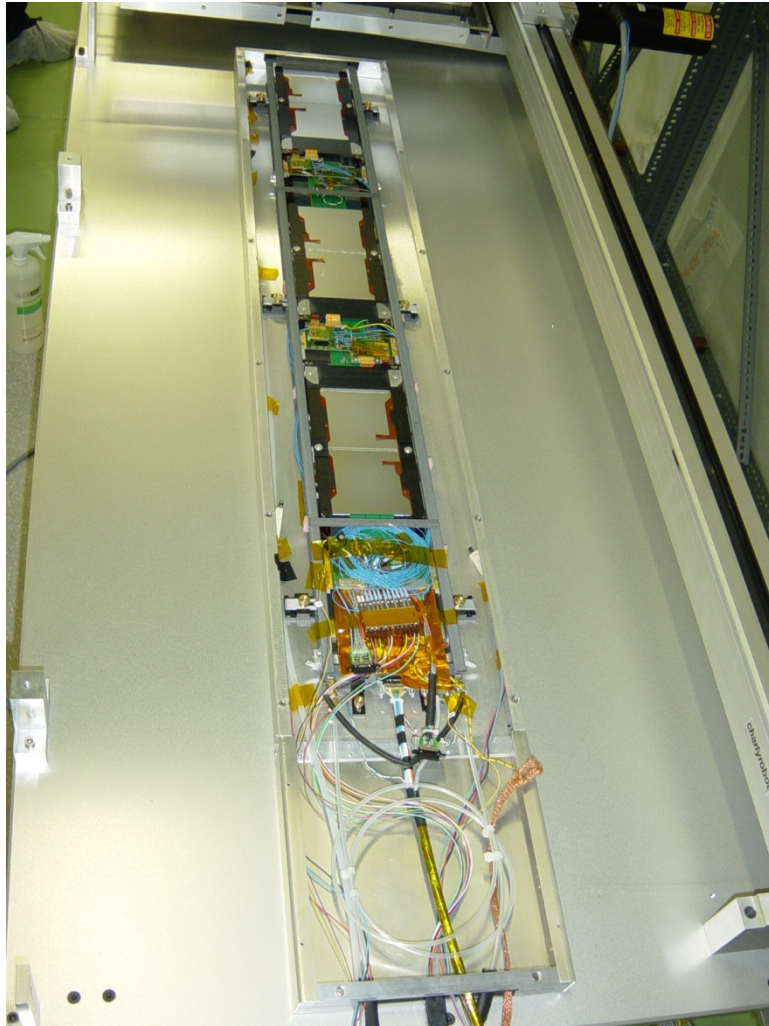
# Module



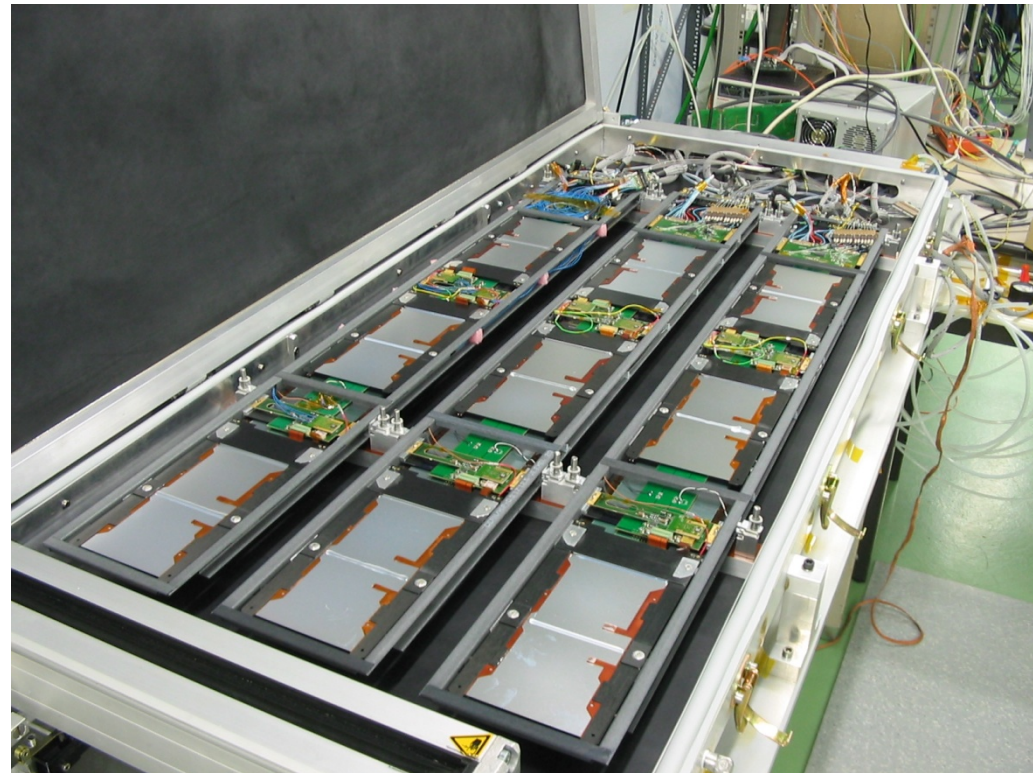
- 1 module:
- 2 détecteurs
- Pitch adapt
- Hybride elect.
- Cadre (non présent)



# Assemblage en structures

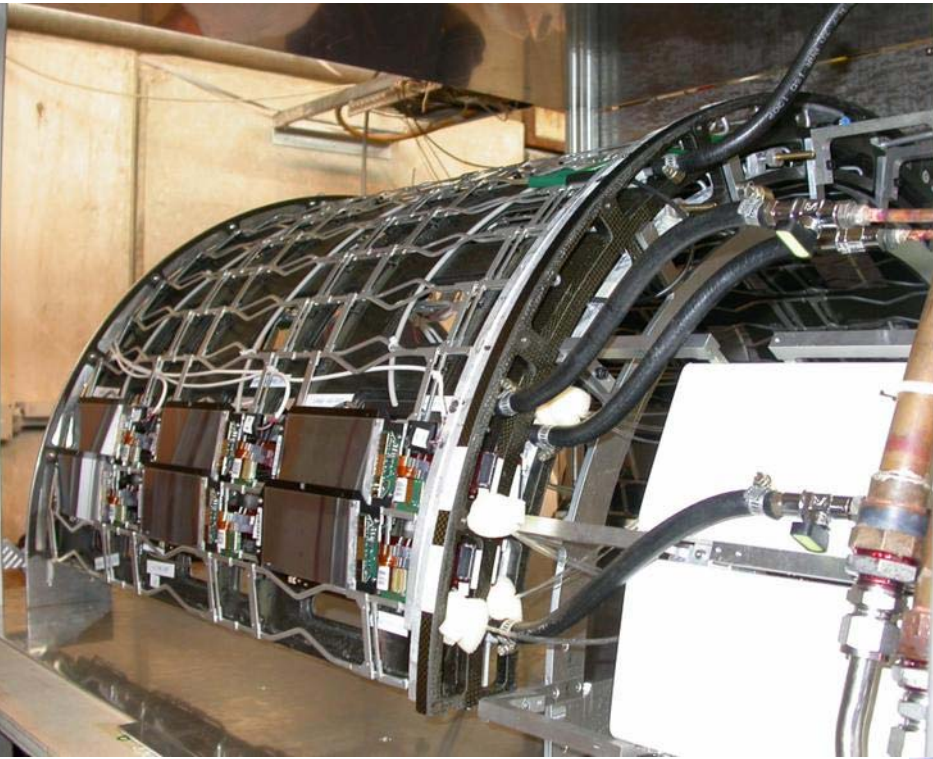


**Outer Barrel**



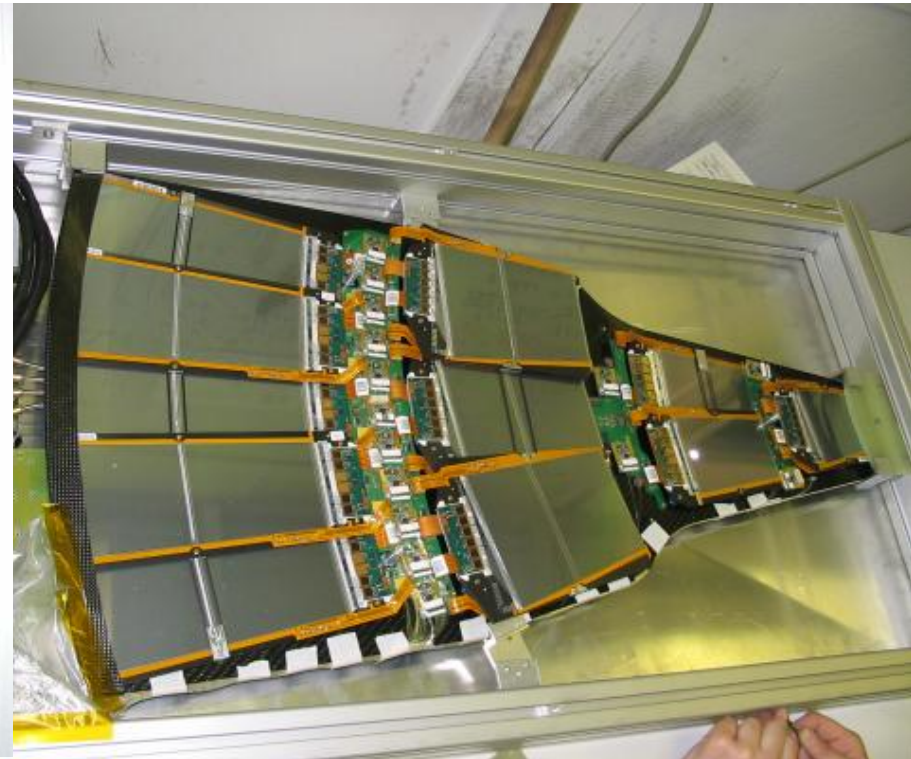
**Rods → 6 couches Outer Barrel**

# INNER BARREL



Inner barrel 2 x 4 demi couches

# FORWARD



Forward: Pétales  
→ 2 x 11 disques à 6 anneaux

# Si CMS

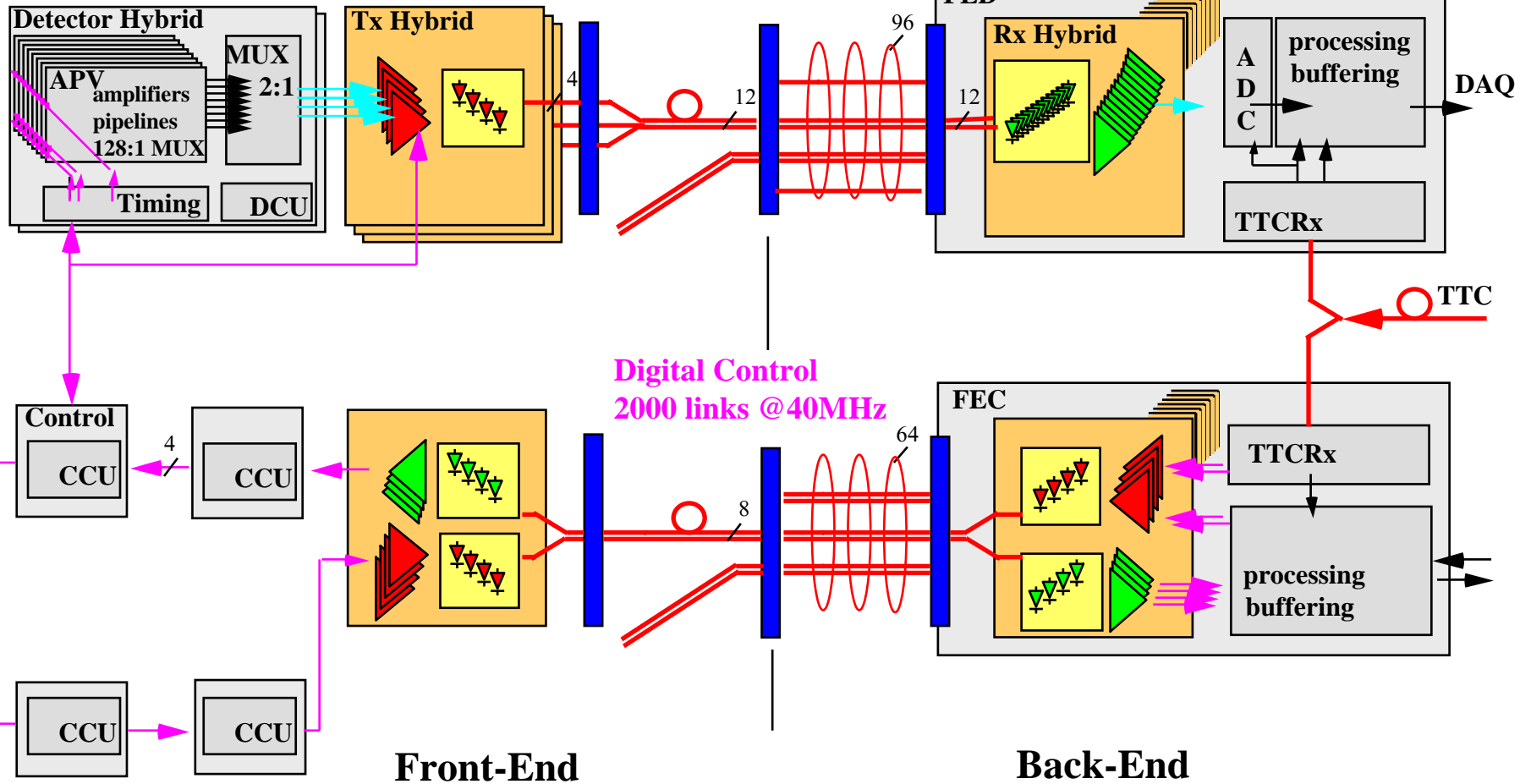
- Pas “trop” cher
- Robuste
- Bonnes performances ( $S/N > 20$ )
- Pas de gaz!

Mais

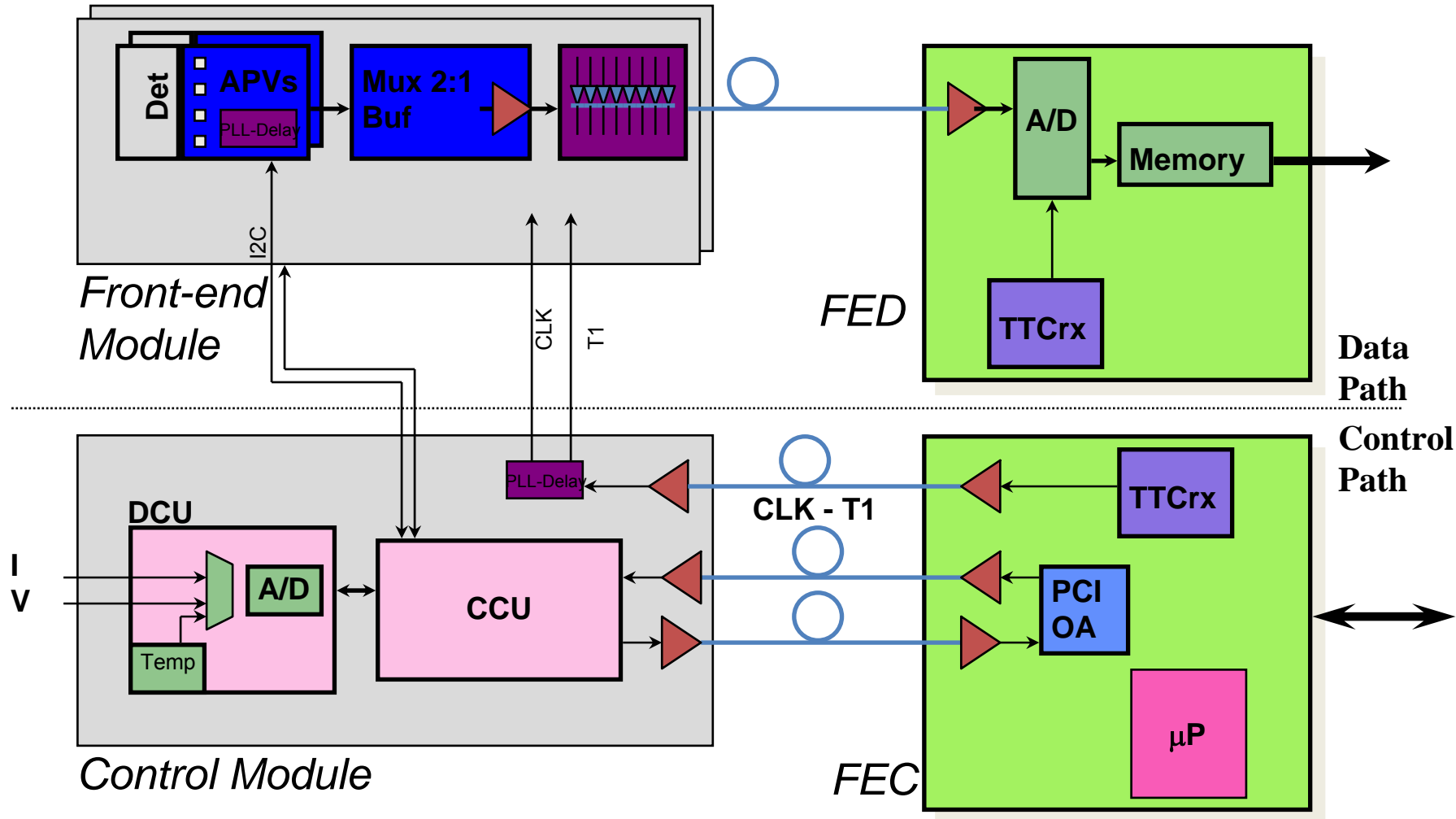
- Production “industrielle”
- Opération à  $-15^{\circ}\text{C}$
- Cooling! ( $\text{C}_6\text{F}_{14}$ )
- Aspect “système” reste lourd...  
(Alim LV et HV, plomberie, masses...)
- Lecture et Contrôle

# CMS Tracker readout and control architecture

Analogue Readout  
50000 links @ 40MS/s



# Read-out and control architecture



# Signals

A.Dierlamm

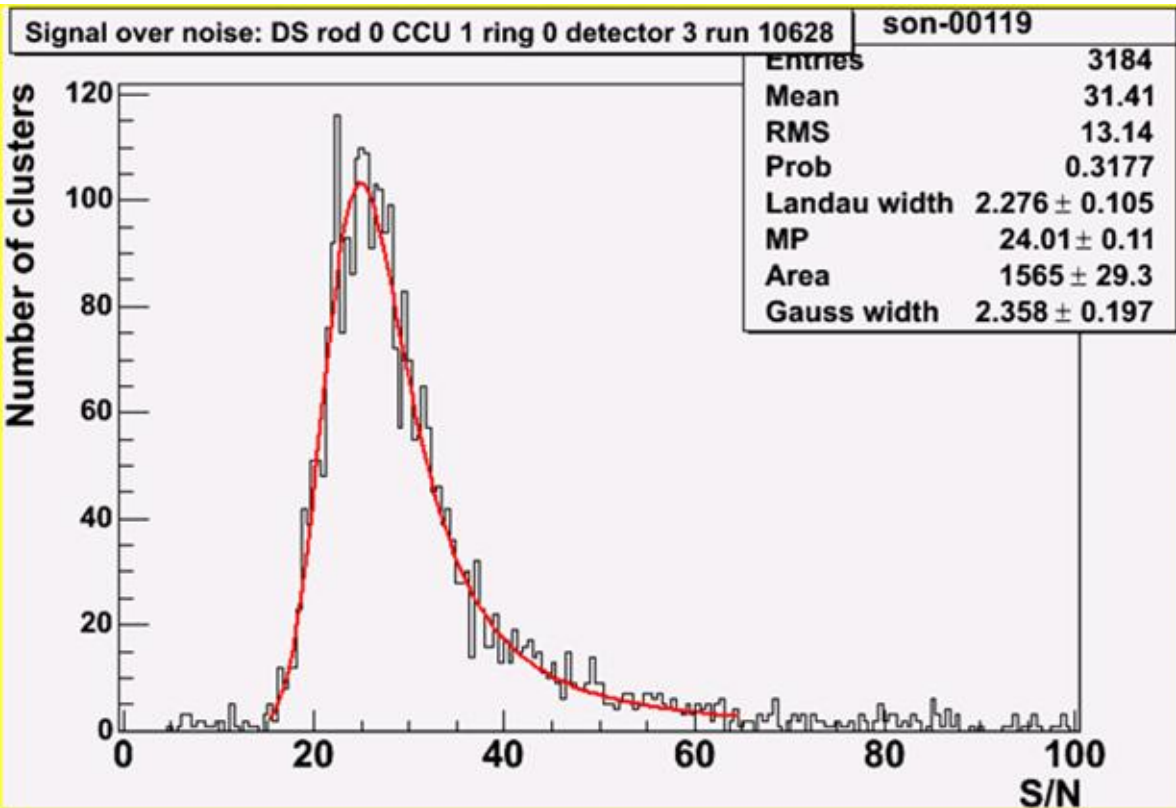
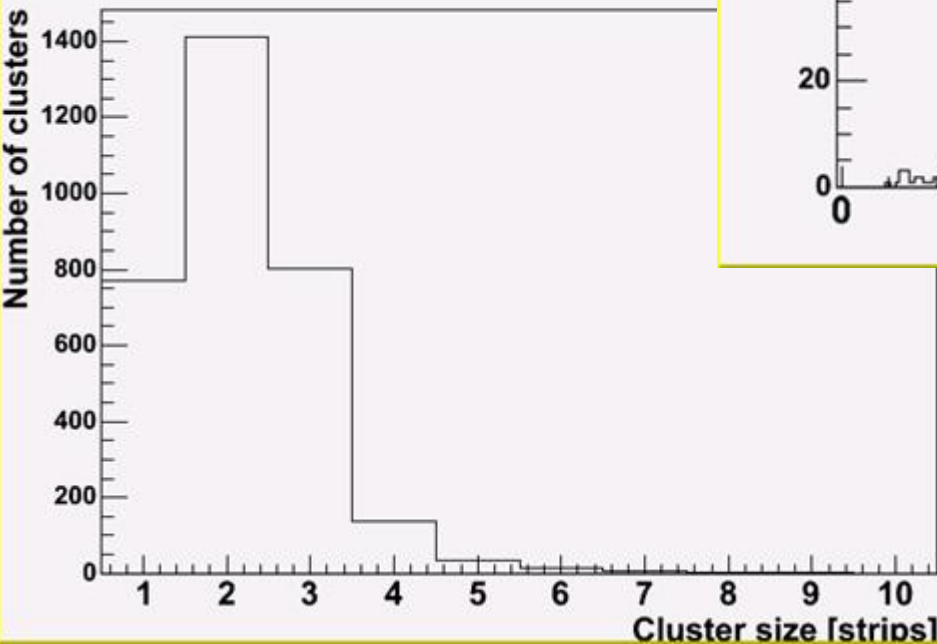
Sepembre 2004

Deconv. mode

HV = 300V

T = -20°C

Number of strips per cluster: DS rod 0 CCU 1 ring 0 detector 3 run 1062



S/N ~ 24

Inclination of 6° !



# Resolution

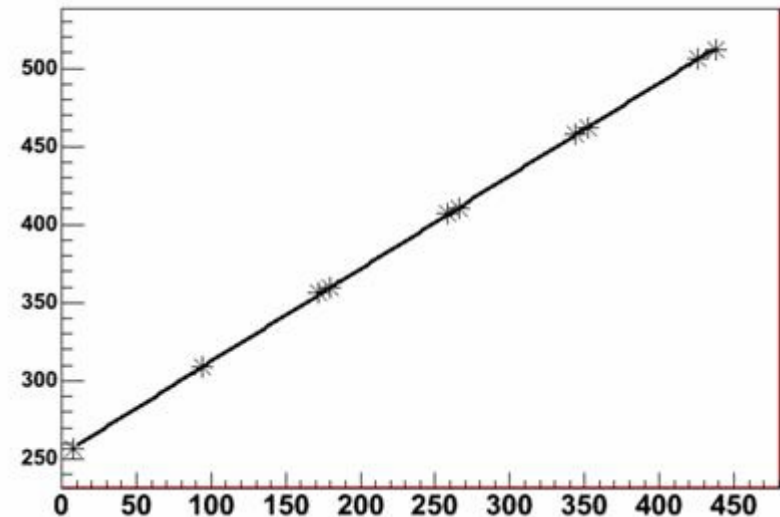
Sepembre 2004

- Analysis of the data done with AC1Analysis (written by R. Brauer). Output of cluster positions and heights further processed.
- Simple line fit to cluster positions
- Subtracting residuals gives first approximation of resolution
- We had straight tracks in May and inclined tracks ( $6^\circ$ ) this time => resolution improved for inclined tracks since in average 2 strips are in a cluster

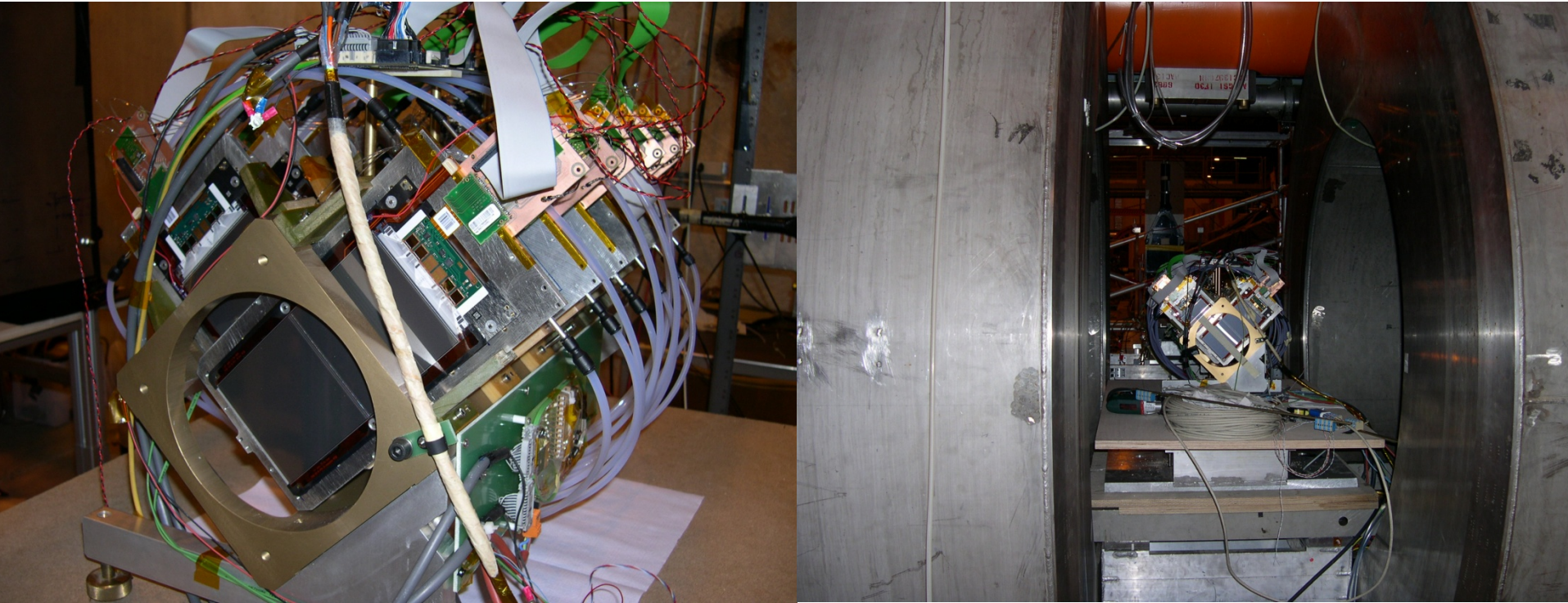
Rod ID	$\sigma_{\text{may}}$ ( $\mu\text{m}$ )	$\sigma_{\text{sept}}$ ( $\mu\text{m}$ )
	straight tracks	$6^\circ$ inclination
166 (DS)	45	29
154 (SS4)	45	34
112 (SS4)	42	38
124 (SS6)	35	28
13 (SS4)	54	33
153 (DS)	50	30

$$(\sigma_{\text{max}} = \text{pitch}(183\mu\text{m}) / \sqrt{12} = 53 \mu\text{m})$$

Graph



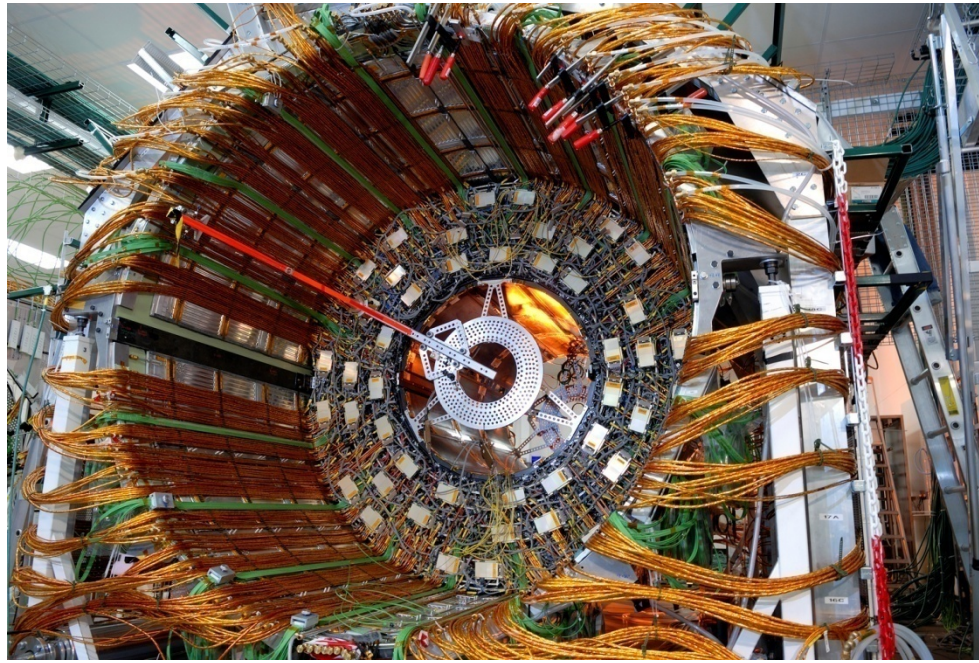
# Télescope de faisceau



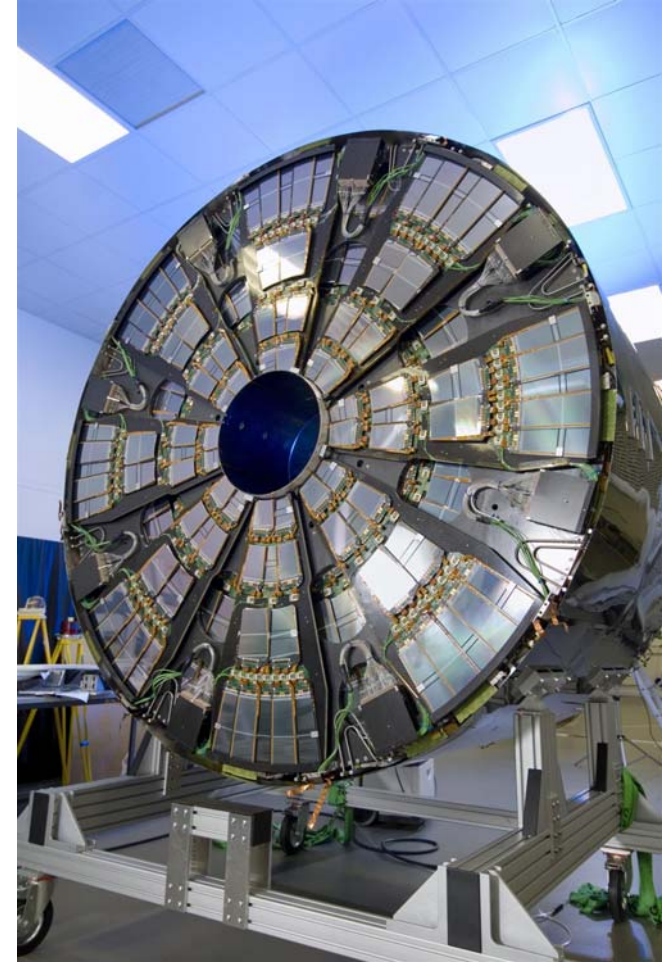
12 Modules TOB

Test en Champ Magnétique Novembre 2004

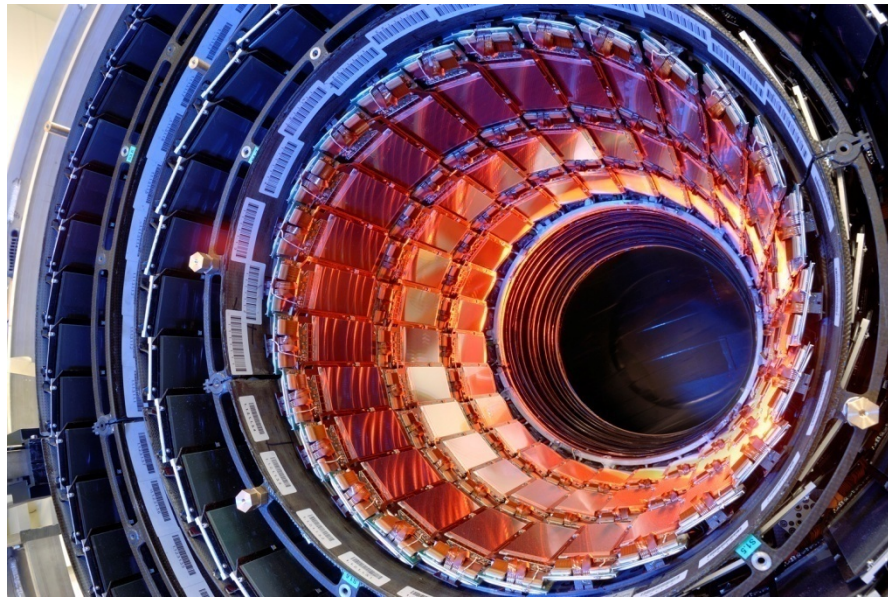
# Fin 2006



T  
O  
B



T  
E  
C



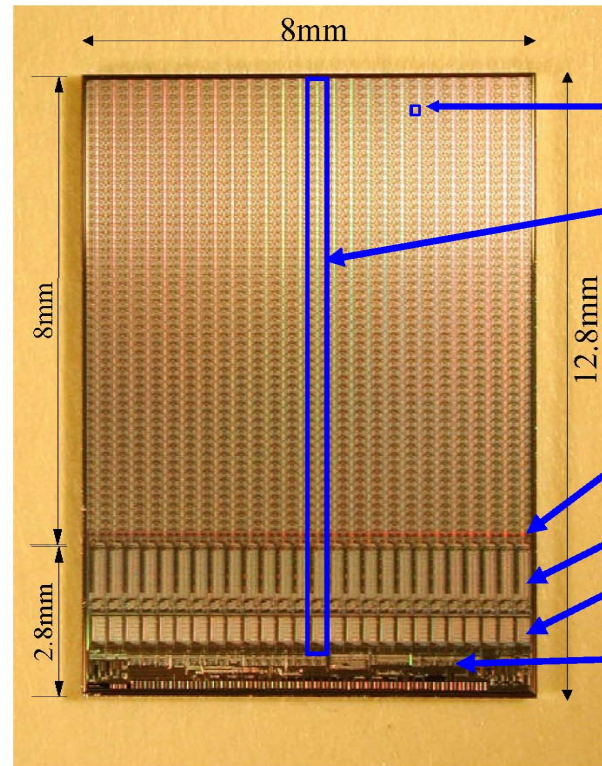
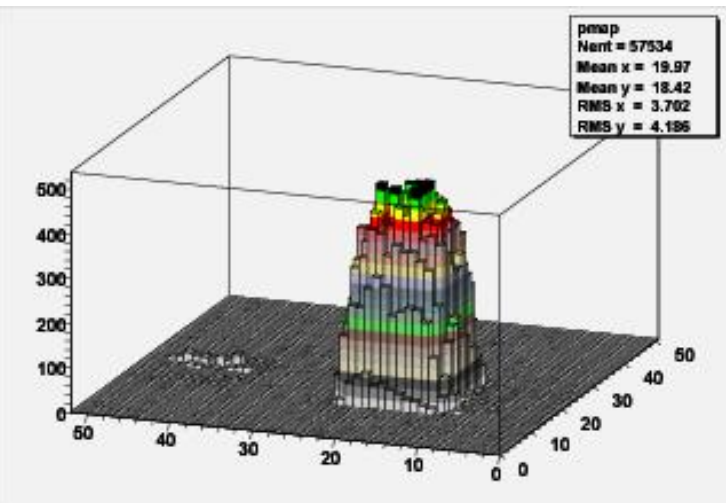
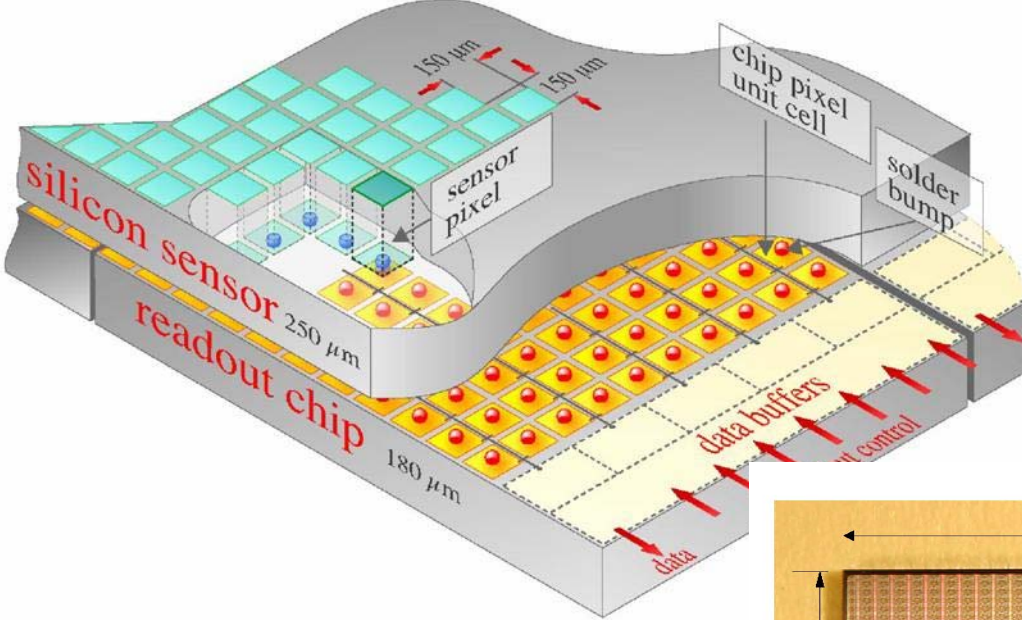
T  
I  
B

# Pixels

- Pixels LHC
  - Alice
  - Atlas
  - CMS
- Développements « futurs »
  - CMOS
  - Si Amorphe

# Pixels CMS

R. Horisberger et al.



## PSI43

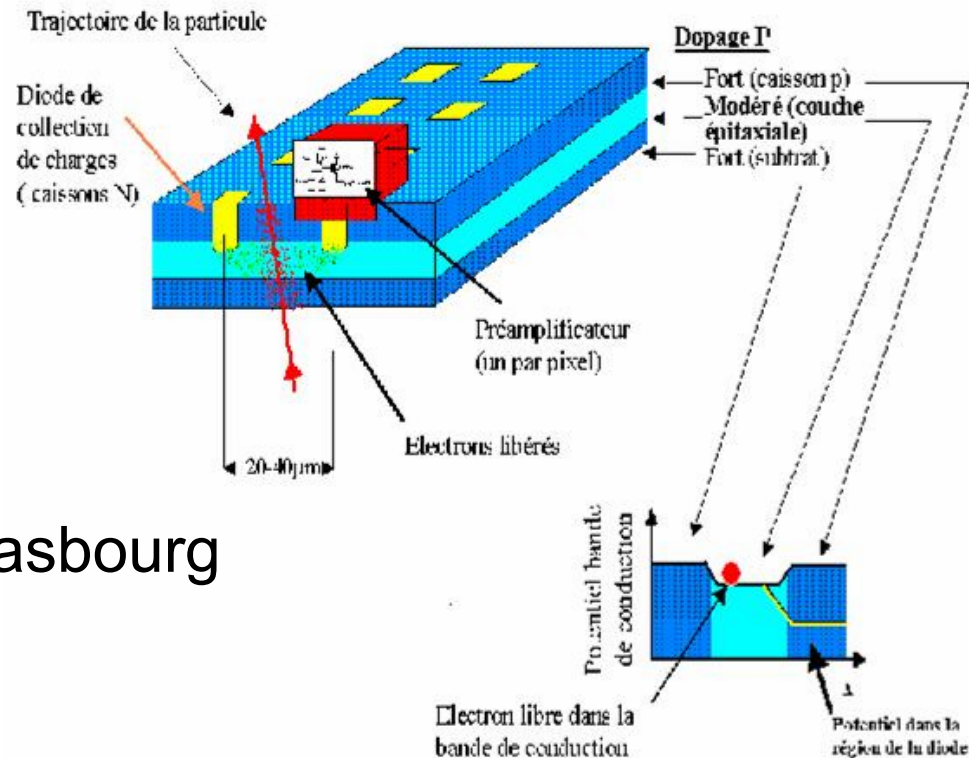
- 150  $\mu\text{m}$  x 150  $\mu\text{m}$  pixel
- 52x53 pixels in 26 double columns  
345 k transistors
- Periphery:  
78 k transistors
- Pixel-column interface
- Data buffers (4x24 capacitors)
- Timestamp buffers (8x8 bits)
- I2C, DACs, regulators, counters, readout, wirebonds  
6 k transistors

# Détecteurs CMOS

Det Vertex: Linear Colliders-ILC

STAR, CBM

Appl médicales - Imageurs



MimosaS IReS Strasbourg

(These Arnaud Gay 2004)

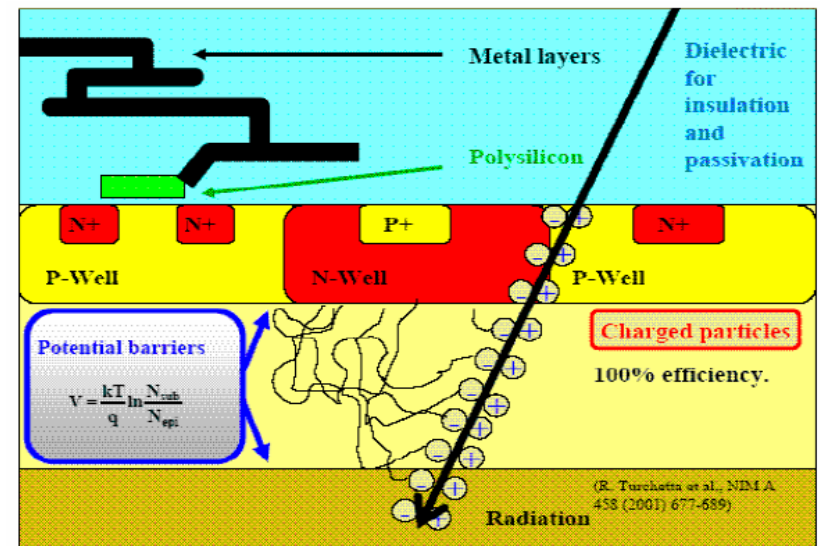
# Détecteurs CMOS

Avantages spécifiques des capteurs CMOS:

M. Winter et al.

MimosaS IReS Strasbourg

> 15 prototypes fabriqués



- ◇  $\mu$ circuits de conditionnement du signal intégrables sur capteur (système-sur-puce)  $\mapsto$  compact, souple
- ◇ Volume sensible ( $\sim$  couche épitaxiale)  $\sim 10 \mu m$  d'épaisseur  $\longrightarrow$  amincissement à  $< 20 \mu m$  permis
- ◇ Production industrielle standard de masse  $\longrightarrow$  coûts modestes, fabrications fréquentes
- ◇ Aussi granulaires et minces que les CCD, MAIS sensiblement plus rapides et radio-tolérants

**un détecteur de vertex ultra-léger, très granulaire, multi-couches  
installé au plus près du point d'interaction**

**Détecteur doit être Rapide & Tolérant aux Rayonnements**

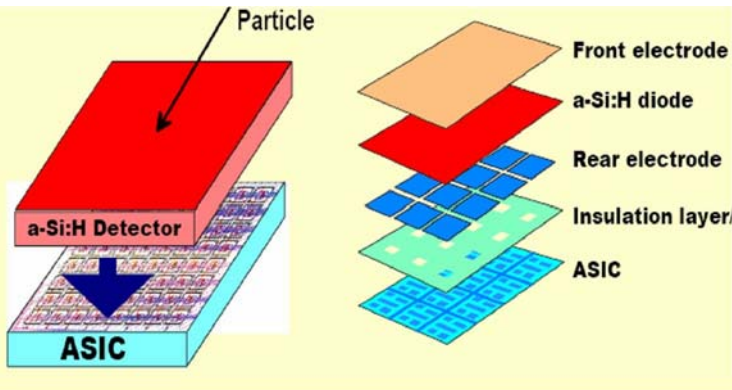
**Les Capteurs CMOS sont à même d'offrir un compromis plus attrayant  
entre granularité, minceur, radio-tolérance et rapidité**

# Thin Film on ASIC (TFA) technology

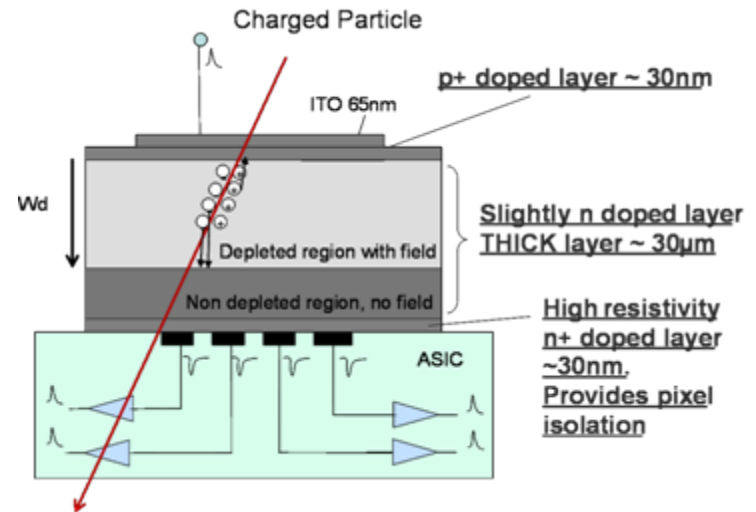
P. Jarron, M. Depeisse et al. CERN

Novel solid state detector technology :

- Deposition of n-i-p a-Si:H films on top of the integrated circuit



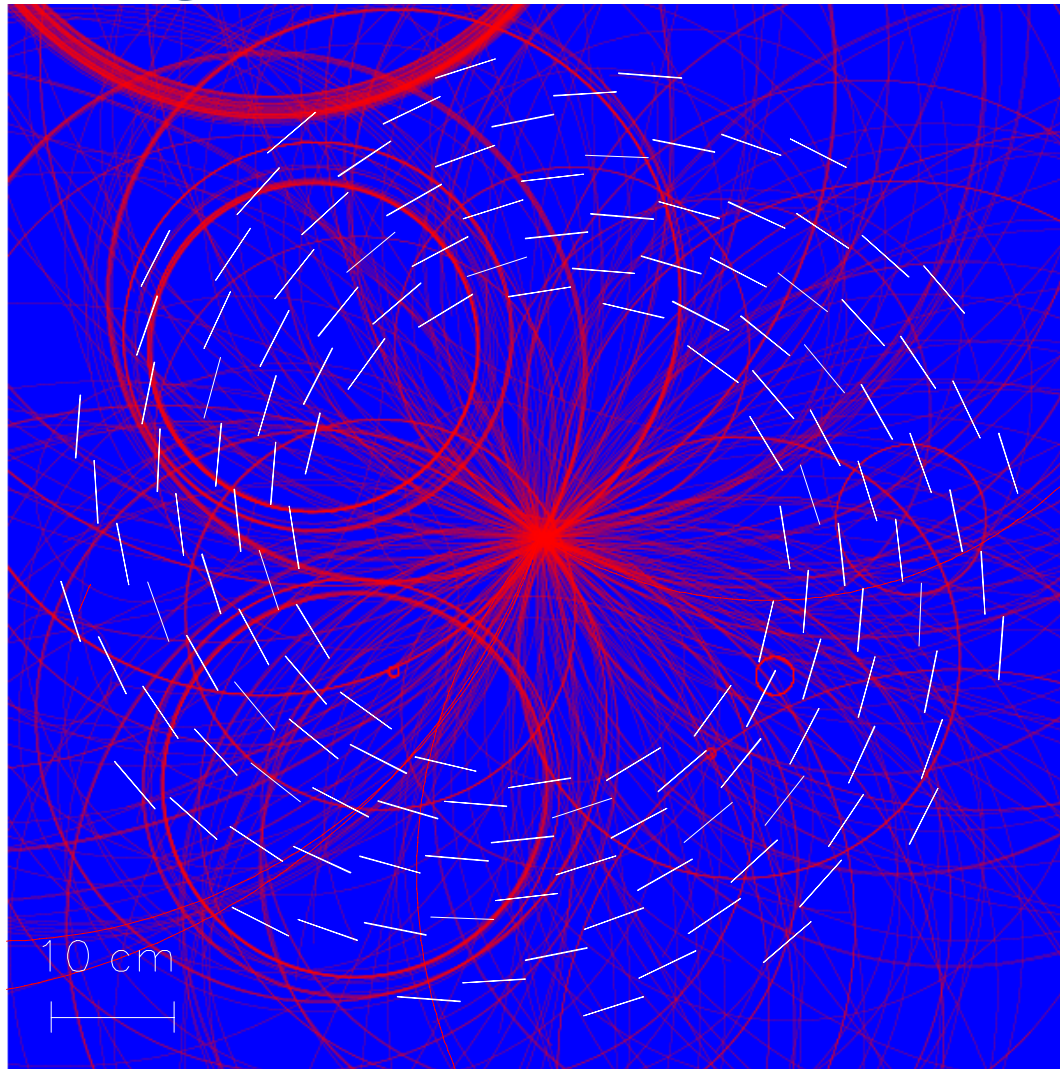
TFA Concept



“Thick” TFA sensor cross section



# Puzzle

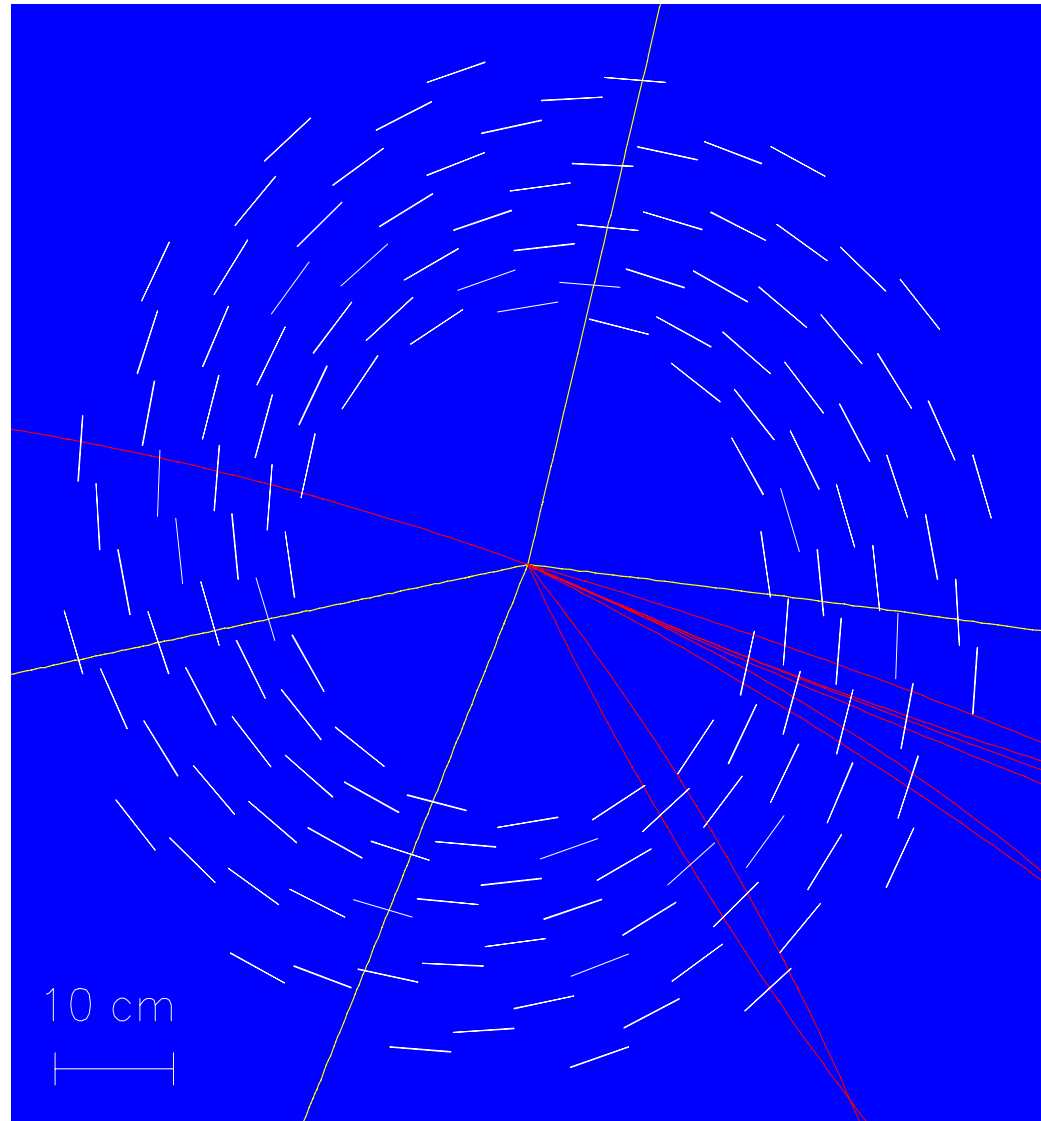


D. Barney

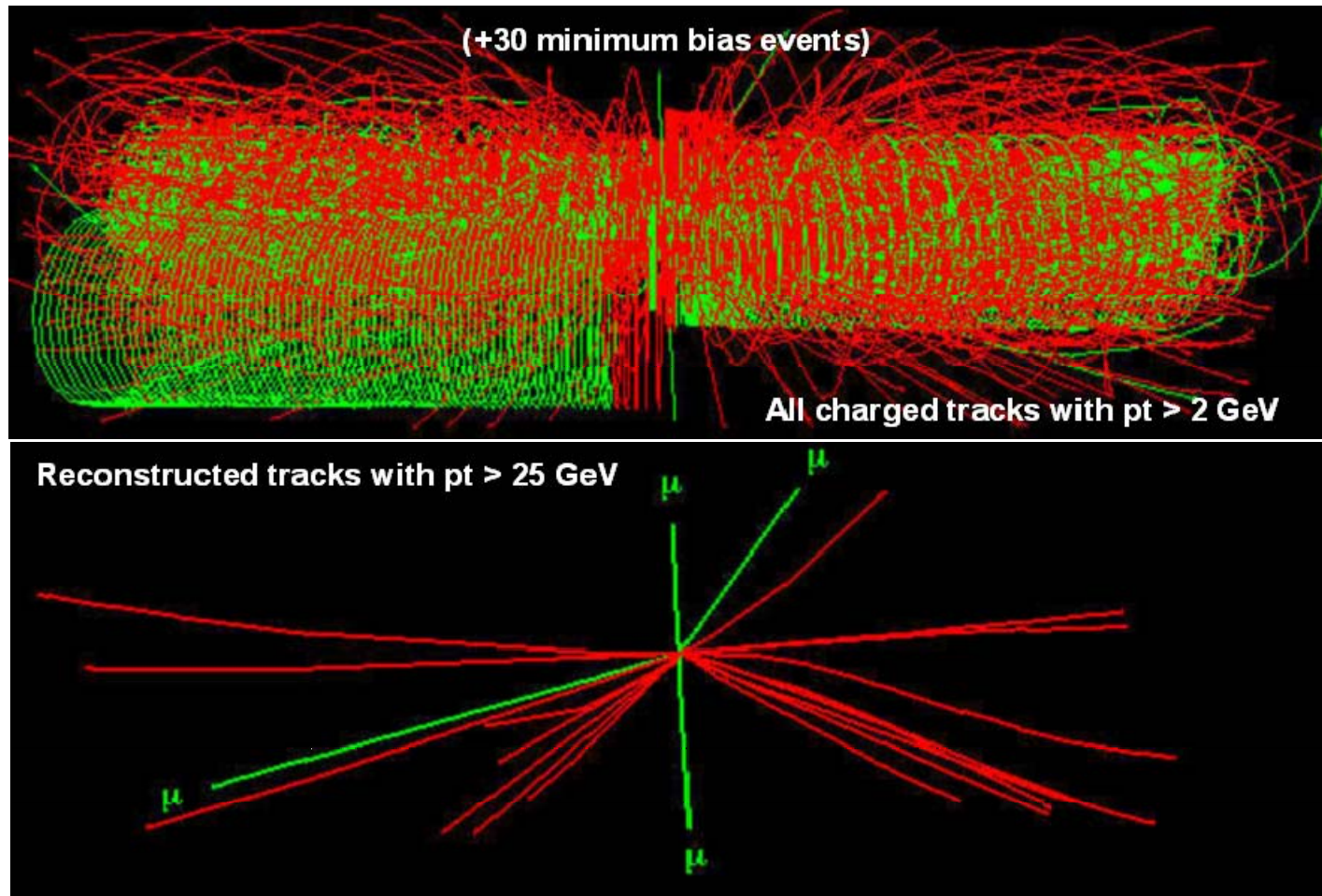
Find 4 straight tracks.

# Answer

Make a “cut” on the  
Transverse momentum  
Of the tracks:  $p_T > 2 \text{ GeV}$



# S. Cittolin



# Conclusion

- Les Détecteurs de trace ont considérablement évolué en performances et en... complexité!
- A l'avenir vu le type de machines à démarrer ou annoncées, les détecteurs de traces ( et ceux qui les exploitent) n'auront pas la vie facile...